

А.Н. Бохан

ПРАКТИЧЕСКОЕ ПОСОБИЕ

**к решению задач по курсу
"Электрическая часть станций и подстанций"
Выбор токоведущих частей и кабелей**



2001

УДК 621

Составил: Бахан А.Н.

Практическое пособие к решению задач по курсу "Электрическая часть станций и подстанций". Выбор токоведущих частей и кабелей. – Гомель: ГГТУ им. П.О. Сухого, 2000. –

Рецензент: к.т.н., профессор Рунов Ю.А.

@ Гомельский государственный технический университет
имени П.О. Сухого

СОДЕРЖАНИЕ

1.	Выбор токоведущих частей по продолжительным режимам
1.1	Расчетные условия для выбора проводников и аппаратов по продолжительным режимам работы
1.2	Типы проводников, применяемых в основных электрических цепях
1.3	Распространенные типы жестких шин
1.4	Поверхностный эффект
1.5	Выбор шин, токоведущих частей и кабелей по продолжительным режимам работы
1.5.1	Выбор проводников и шин по условию экономичности
1.5.2	Нагрев проводников и определение допустимого тока в длительных режим
1.5.3	Особенности выбора гибких шин и кабелей
2.	Проверка токоведущих частей и шин по условиям короткого замыкания
2.1	Термическая стойкость проводников
2.2	Динамическая стойкость проводников
	Приложения
	Литература

1. ВЫБОР ТОКОВЕДУЩИХ ЧАСТЕЙ ПО ПРОДОЛЖИТЕЛЬНЫМ РЕЖИМАМ

1.1. Расчетные условия для выбора проводников и аппаратов по продолжительным режимам работы

Продолжительный режим работы электротехнического устройства - это режим, продолжающийся не менее чем необходимо для достижения установившейся температуры его частей при неизменной температуре охлаждающей среды.

Продолжительный режим работы электротехнического устройства имеет место, когда энергосистема или электроустановка находится в одном из следующих режимов: нормальный, ремонтный, послеаварийный.

Нормальный режим - это такой режим работы электротехнического устройства, при котором значения его параметров не выходят за пределы, допустимые при заданных условиях эксплуатации.

В нормальном режиме функционируют все элементы данной электроустановки, без вынужденных отключений и без перегрузок. Ток нагрузки в этом режиме может меняться в зависимости от графика нагрузки. Для выбора аппаратов и токоведущих частей следует принимать наибольший ток нормального режима.

Ремонтный режим - это режим плановых профилактических и капитальных ремонтов. В ремонтном режиме часть элементов электроустановки отключена, поэтому на оставшиеся в работе элементы ложится повышенная нагрузка. При выборе аппаратов и токоведущих частей необходимо учитывать это повышение нагрузки до $I_{\text{рем max}}$.

Послеаварийный режим — это режим, в котором часть элементов электроустановки вышла из строя или выведена в ремонт вследствие аварийного (непланового) отключения. При этом режиме возможна перегрузка оставшихся в работе элементов электроустановки током $I_{\text{пав max}}$.

Из двух последних режимов выбирают наиболее тяжелый, когда в рассматриваемом элементе электроустановки проходит наибольший ток I_{max} .

Рассмотрим конкретные случаи определения расчетных токов для схем приведенных на рис 1.1.

Цель генератора. Наибольший ток нормального режима принимается при загрузке генератора до номинальной мощности $P_{\text{ном}}$ номинальном напряжении и $\cos\varphi_{\text{ном}}$

$$I_{\text{ном}} = I_{\text{ном, т}} = \frac{P_{\text{ном}}}{\sqrt{3}U_{\text{ном}} \cos\varphi_{\text{ном}}}.$$

Наибольший ток послеаварийного или ремонтного режима определяется при условии работы генератора при снижении напряжения на 5%:

$$I_{\text{max}} = \frac{P_{\text{ном}}}{\sqrt{3}U_{\text{ном}} \cdot 0,95 \cos\varphi_{\text{ном}}}.$$

В конкретных условиях I_{max} может быть определен при работе генератора с повышенной токовой нагрузкой за счет улучшения системы охлаждения (повышение давления водорода и др.).

Цель двухобмоточного трансформатора. Со стороны ВН и НН принимают:

$$I_{\text{ном}} = I_{\text{ном, т}} = \frac{S_{\text{ном}}}{\sqrt{3}U_{\text{ном}}},$$

где $U_{\text{ном}}$ - номинальная мощность трансформатора.

Наибольший ток ремонтного или послеаварийного режима принимается при условии отключения параллельно работающего трансформатора, когда оставшийся в работе трансформатор может быть перегружен по пра-

вилам аварийных длительных или систематических перегрузок. Если неизвестны действительные возможные перегрузки, то в учебном проектировании можно принять: $I_{\max} = 1,4 \div 1,5 I_{\text{ном}, \text{т}}$.

Цепь трехобмоточного трансформатора или автотрансформатора на подстанции. На стороне ВН расчетные токи определяются так же, как в цепи двухобмоточного трансформатора.

На стороне СН и НН при двух работающих трансформаторах (автотрансформаторах):

$$I_{\text{норм}} = \frac{S_{\text{нагр}}}{2 \cdot \sqrt{3} U_{\text{ном}}},$$

где $S_{\text{нагр}}$ — наибольшая перспективная нагрузка на стороне СН или НН.

При отключении одного трансформатора

$$I_{\max} = \frac{S_{\text{нагр}}}{\sqrt{3} U_{\text{ном}}} = 2I_{\text{норм}},$$

Цепь трехобмоточного трансформатора или автотрансформатора на электростанции. Трехобмоточные трансформаторы широко применяются на ТЭЦ в качестве трансформаторов связи. В этом случае они работают как повышающие, передавая избыток мощности генераторов в сеть ВН и СН. Загрузка цепей ВН, СН и НН зависит от конкретных условий: графика нагрузки на НН, СН и схемы соединений электроустановки на НН. При блочном соединении генератора с трансформатором на стороне НН $I_{\text{норм}}$, I_{\max} определяются так же, как в цепи генератора.

При поперечных связях между генераторами расчетные условия на стороне НН и ВН определяются по мощности трансформатора с учетом его перегрузки, т. е.:

$$I_{\text{норм}} = I_{\text{ном, т}}; \quad I_{\max} = (1,4 \div 1,5)I_{\text{ном, т}}.$$

На стороне СН, если отсутствует связь с энергосистемой, расчетные условия принимаются так же, как на подстанции. Если к шинам СН присоединена энергосистема и возможны перетоки между ВН и СН, то

$$I_{\text{норм}} = I_{\text{ном, т}}; \quad I_{\max} = (1,4 \div 1,5)I_{\text{ном, т}}.$$

Автотрансформаторы применяются на электростанциях для связи установок ВН и СН. В этом случае расчетные условия на стороне ВН и СН определяются по мощности автотрансформатора с учетом допустимой перегрузки.

Цепь линии. Если линия одиночная, радиальная, то $I_{\text{норм}} = I_{\max}$ определяется по наибольшей нагрузке линии.

Для двух параллельно работающих линий

$$I_{\text{норм}} = \frac{S_{\text{нагр}}}{2\sqrt{3} U_{\text{ном}}}; \quad I_{\max} = 2I_{\text{норм}},$$

где $S_{\text{нагр}}$ - наибольшая мощность потребителей, присоединенных к линиям.

Для n параллельных линий

$$I_{\text{норм}} = \frac{S_{\text{нагр}}}{n\sqrt{3}U_{\text{ном}}} ; I_{\text{max}} = \frac{n}{n-1} I_{\text{норм}},$$

Цепи секционных шиноединительных выключателей, сборные шины. Ток нормального режима определяется с учетом токораспределения по шинам при наиболее неблагоприятном эксплуатационном режиме. Такими режимами являются: отключение части генераторов, перевод отходящих линий на одну систему шин, а источников питания - на другую. Обычно ток, проходящий по сборным шинам, секционному и шиноединительному выключателю, не превышает I_{max} самого мощного генератора или трансформатора, присоединенного к этим шинам.

Цепь группового сдвоенного реактора. В нормальном режиме ветви реактора загружены равномерно. Наибольший ток нормального режима определяется по нагрузке, присоединенных к ветви потребителей:

$$I_{\text{норм}} = \frac{S_{\text{нагр}}}{\sqrt{3}U_{\text{ном}}}.$$

В послеаварийном или ремонтном режиме при отключении одной из потребительских линий, присоединенных к ветви реактора, нагрузка другой ветви может соответственно возрасти, поэтому

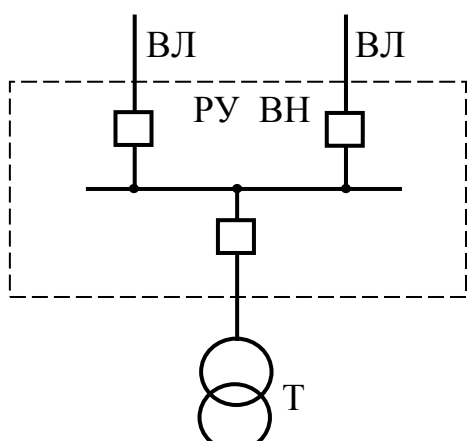
$$I_{\text{max}} = \frac{n}{n-1} I_{\text{норм}},$$

где n - число линий, присоединенных к одной ветви реактора.

При правильно выбранном реакторе I_{max} не превышает номинального тока ветви реактора.

1.2. Типы проводников, применяемых в основных электрических цепях

Основное электрическое оборудование электростанций и подстанций (генераторы, трансформаторы, синхронные компенсаторы) и аппараты в этих цепях (выключатели, разъединители и др.) соединяются между собой проводниками разного типа, которые образуют токоведущие части электрической установки.



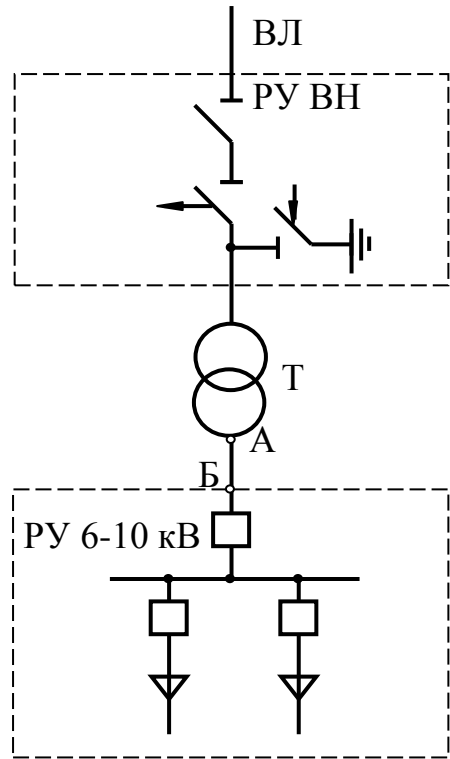


Рис. 1.1. К выбору типа проводников в основных электрических цепях электроустановок

а – элемент схемы ТЭЦ; *б* – элемент схемы подстанции

Рассмотрим типы проводников, применяемых на электростанциях и подстанциях. На рис. 1.1 упрощенно, без разъединителей, показаны элементы схем ТЭЦ, КЭС и подстанции.

Цепь генератора на ТЭЦ (рис. 1.1, *а*). В пределах турбинного отделения от выводов генератора до фасадной стены (участок *АБ*) токоведущие части выполняются в виде шинного моста из жестких алюминиевых шин или комплектным по-фазно-экранированным токопроводом (в цепях генераторов мощностью 60 МВт и выше). На участке *БВ* между турбинным отделением и главным распределительным устройством (ГРУ) соединение выполняется шинным мостом или гибким подвесным токопроводом. Все соединения внутри закрытого РУ 6-10 кВ, включая сборные шины, выпол-

няются жесткими голыми алюминиевыми шинами прямоугольного или коробчатого сечения. Соединение от ГРУ до выводов трансформатора связи (участок *ИК*) осуществляется шинным мостом или гибким подвесным токопроводом.

Токоведущие части в РУ 35 кВ и выше обычно выполняются стале-алюминиевыми проводами АС или АСО. В некоторых конструкциях ОРУ часть или вся ошиновка может выполняться алюминиевыми трубами.

Цепь трансформатора собственных нужд (рис. 1.1, *a*). От стены ГРУ до выводов ТСН, установленного вблизи ГРУ, соединение выполняется жесткими алюминиевыми шинами. Если трансформатор собственных нужд устанавливается у фасадной стены главного корпуса, то участок *ГД* выполняется гибким токопроводом. От трансформатора до распределительного устройства собственных нужд (участок *ЕЖ*) применяется кабельное соединение.

В цепях линий 6-10 кВ вся ошиновка до реактора и за ним, а также в шкафах КРУ выполнена прямоугольными алюминиевыми шинами. Непосредственно к потребителю отходят кабельные линии.

В блоке генератор - трансформатор на КЭС участок *АБ* и отпайка к трансформатору собственных нужд *ВГ* выполняются комплектным пофазно-экранированным токопроводом.

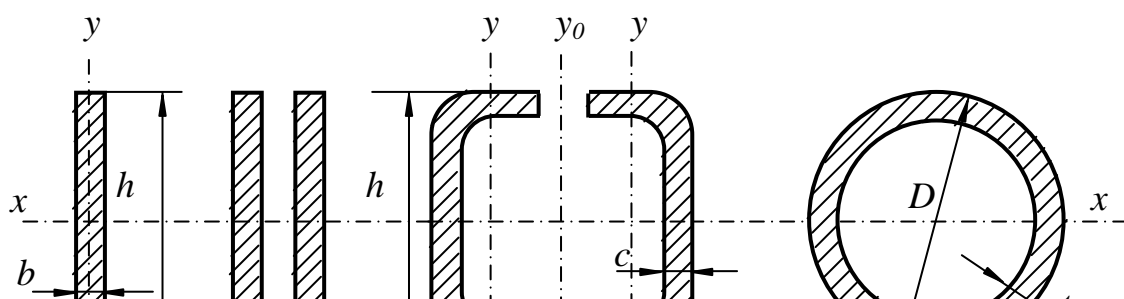
Для участка *ЕД* от ТСН до распределительного устройства собственных нужд применяется закрытый токопровод 6 кВ.

В цепи резервного трансформатора собственных нужд участок *ЖЗ* может быть выполнен кабелем или гибким проводом. Выбор того или другого способа соединения зависит от взаимного расположения ОРУ, главного корпуса и резервного ТСН. Так же как на ТЭЦ, вся ошиновка в РУ-35 кВ и выше выполняется проводами АС или АСО.

На подстанциях, в открытой части, могут применяться провода АС или жесткая ошиновка алюминиевыми трубами. Соединение трансформатора с закрытым РУ 6-10 кВ или с КРУ 6-10 кВ осуществляется гибким подвесным токопроводом, шинным мостом или закрытым комплектным токопроводом. В РУ 6-10 кВ применяется жесткая ошиновка.

1.3. Распространенные типы жестких шин

В закрытых РУ 6-10 кВ ошиновка и сборные шины выполняются жесткими алюминиевыми шинами. Медные шины из-за высокой их стоимости не применяются даже при больших токовых нагрузках. При токах до 3000 А применяются одно- и двухполосные шины. При больших токах рекомендуются шины коробчатого сечения. Наиболее распространенные формы поперечного сечения шин приведены на рис. 1.2.



Простейшая форма поперечного сечения шины – прямоугольная с отношением сторон b/h от 1/8 до 1/12 (рис. 1.2, а). Это так называемые плоские шины. Они обеспечивают хороший отвод тепла в окружающую среду, поскольку отношение поверхности охлаждения к объему здесь больше, чем в шинах любой другой формы. Момент сопротивления изгибу относительно оси x во много раз больше, чем относительно оси y . Следовательно, при расположении проводников трех фаз в плоскости $y - y$ плоские шины способны противостоять значительным электрическим силам при КЗ.

Плоские шины изготавливают с поперечным сечением до $120 \times 10 = 1200 \text{ мм}^2$. Допустимый продолжительный ток таких шин из алюминия при нормированной температуре воздуха 25°C равен 2070 А. При большем рабочем токе можно применить составные проводники из двух полос с зазорами между ними (рис. 1.2, б). Допустимый ток при этом увеличится соответственно до 3200 А, т.е. далеко не пропорционально числу полос. Это объясняется поверхностным эффектом – вытеснением переменного тока на поверхность составного проводника.

Недостаток составных проводников заключается также в сложности монтажа и недостаточной механической прочности. Последнее объясняется взаимодействием полос при КЗ. Поскольку токи в полосах направлены одинаково, они стремятся сблизиться. Чтобы исключить смыкание полос при КЗ, необходимы дистанционные прокладки между ними с соответствующим креплением. Проводники из трех и четырех полос безусловно нецелесообразны при переменном токе. Ограниченнное применение имеют проводники из двух полос.

При больших рабочих токах применяются составные шины из двух корытных проводников (рис. 1.2, в). Здесь также необходимы дистанционные прокладки между корытами.

Наиболее совершенной формой поперечного сечения шины при рабочем токе свыше 2000 А является круглое кольцевое (рис. 1.2, г). При пра-

вильно выбранном отношении толщины стенки к диаметру трубы обеспечивается хороший отвод тепла, а также механическая прочность. Момент сопротивления изгибу одинаков в любом направлении. Применение получили трубы с наружным диаметром до 250 мм и толщиной стенки до 12 мм.

1.4. Поверхностный эффект

Активное сопротивление проводника при переменном токе равно:

$$R_a = K_{\pi} \cdot K_b \cdot R = K_{dp} \cdot R,$$

где K_{π} - коэффициент поверхностного эффекта;

K_b - коэффициент эффекта близости;

K_{dp} - коэффициент добавочных потерь;

R - омическое сопротивление, т. е. сопротивление проводника на постоянном токе.

Коэффициент поверхностного эффекта равен отношению активного сопротивления уединенного проводника к его омическому сопротивлению:

$$K_{\pi} = \frac{R_{a, \text{уед}}}{R}.$$

Коэффициент эффекта близости равен отношению активного сопротивления проводника при наличии вблизи него других проводников с током к активному сопротивлению уединенного проводника:

$$K_b = \frac{R_a}{K_{\pi} R}.$$

В электроустановках расстояния между проводниками обычно значительно больше их геометрических размеров. При этом $K_b=1$.

Коэффициент поверхностного эффекта обратно пропорционален глубине проникновения Z_0 электромагнитного поля в проводник:

$$K_{\pi} \sim \frac{1}{Z_0}$$

На глубине Z_0 напряженности электрического и магнитного полей, а также плотность тока в e раз меньше, чем на поверхности проводника.

Глубина проникновения определяется выражением

$$Z_0 = \sqrt{\frac{2}{\omega \mu \mu_0 \gamma}},$$

где $\omega = 2\pi f$ - угловая частота;

μ - относительная магнитная проницаемость проводника;

μ_0 - магнитная постоянная (магнитная проницаемость вакуума);

γ - удельная проводимость материала проводника на постоянном токе;

поэтому

$$K_{\pi} \sim \sqrt{\frac{f}{R}}.$$

Зависимости K_{π} от этого параметра для шин приведены на рис. 1.3.

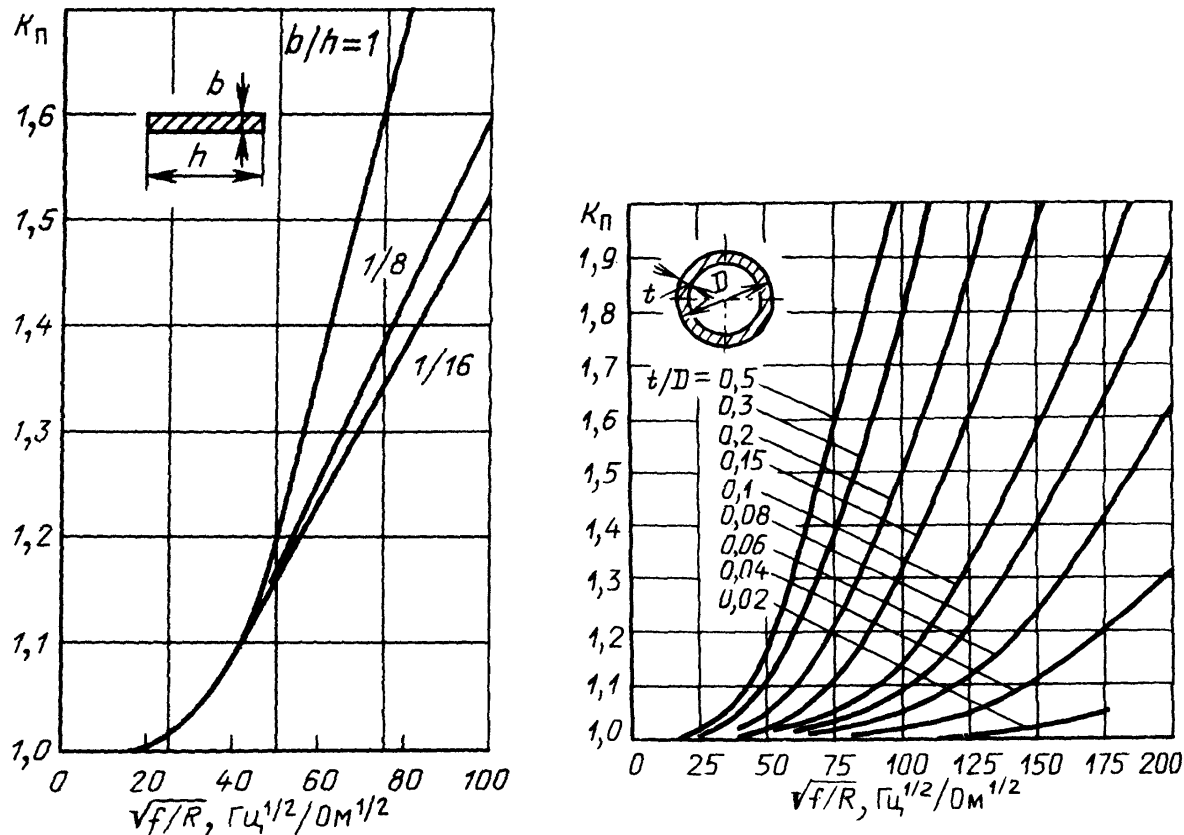


Рис. 1.3. Кривые для определения коэффициента поверхностного эффекта шин прямоугольного и трубчатого сечения

В электроустановках промышленной частоты в качестве проводниковых материалов обычно используют медь и алюминий, основные усредненные характеристики которых приведены в табл. 1.1

Форму и геометрические размеры проводников на большие токи выбирают с учетом того, что увеличение толщины сплошного проводника или толщины стенки полого проводника сверх так называемой критической толщины ($t_{kp} \approx 1,5Z_0$) технически и экономически нецелесообразно, так как связано с увеличением расхода проводникового материала, но не приводит к существенному снижению активного сопротивления проводника.

Таблица 1.1

Материал	Параметры проводниковых материалов при 20 °C			
	$\rho, \text{Ом} \cdot \text{мм}^2/\text{м}$	$\gamma, \text{м}/(\text{Ом} \cdot \text{мм}^2)$	$d, \text{г}/\text{см}^3$	$Z_0, \text{мм}$
Медь	0,0175	57	8,93	9,5

Алюминий	0,029	34,5	2,7	12,2
----------	-------	------	-----	------

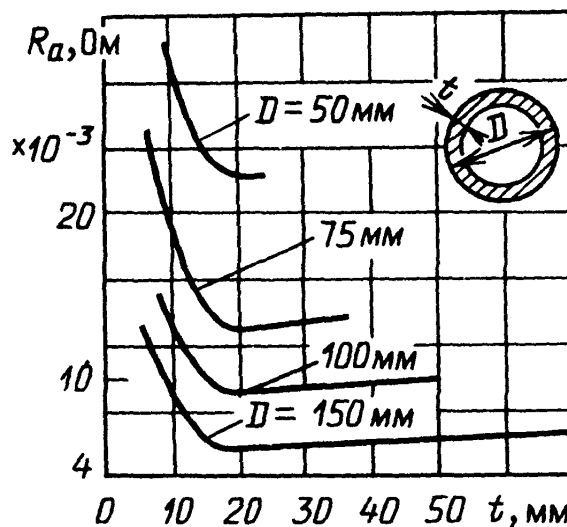


Рис. 1.4. Зависимость активного сопротивления алюминиевых труб от толщины стенки

Зависимость активного сопротивления алюминиевых труб диаметром от 50 до 500 мм от толщины стенки показана на рис. 1.4. По мере увеличения толщины стенки, начиная от очень малого значения, сечение трубы увеличивается, а сопротивление ее быстро уменьшается, пока не достигнет некоторого минимума. При дальнейшем увеличении толщины стенки сечение трубы продолжает увеличиваться, однако ее активное сопротивление не только не уменьшается, но даже несколько увеличивается вследствие быстрого увеличения коэффициента поверхностного эффекта. Критическая толщина стенки трубы, соответствующая минимуму активного сопротивления, зависит не от диаметра, а только от удельного сопротивления материала и частоты. Для алюминиевых труб круглого сечения при частоте 50 Гц критическая толщина стенки составляет около 20 мм, а для медных труб около 14 мм.

Пример 1.1. Сравнить электрическое сопротивление переменному току алюминиевых шин.

Трубчатой $D = 80 \text{ мм}; d = 72 \text{ мм}$

Прямоугольной 100×10

Решение:

Площадь поперечного сечения

$$q_t = \frac{\pi(D^2 - d^2)}{4} = \frac{\pi(64 - 51,8)}{4} = 960 \text{ мм}^2;$$

$$q_n = 1000 \text{ мм}^2.$$

Электрическое сопротивление на 1000 м длины

$$R_t = \frac{\rho l}{q} = \frac{0,029 \cdot 1000}{960} = 0,0302 \text{ Ом};$$

$$R_n = 0,029 \text{ Ом.}$$

Расчетные параметры

для трубы

$$\sqrt{\frac{f}{R}} = \sqrt{\frac{50}{0,0302}} = 40,7 \frac{\Gamma_{\text{ц}}^{\frac{1}{2}}}{\Omega^{\frac{1}{2}}},$$

для прямоугольной шины

$$\sqrt{\frac{f}{R}} = 41,5.$$

Коэффициент поверхностного эффекта определяем по рис. 1.3:

для трубы

$$\frac{t}{D} = 0,05, K_n \approx 1,0;$$

для прямоугольной шины

$$\frac{b}{h} = \frac{1}{10}, K_n = 1,09.$$

Сопротивление переменному току прямоугольной шины

$$R_a = K_n R = 1,09 \times 0,029 = 0,0316 \text{ Ом},$$

т.е. на 4,7 % больше чем сопротивление шины трубчатого сечения.

1.5. Выбор шин, токоведущих частей и кабелей по продолжительным режимам работы

1.5.1. Выбор проводников и шин по условию экономичности

Выбор сечения ошиновки производится по экономической плотности тока определяется выражением

$$q_3 = \frac{I_{\text{норм}}}{j_3},$$

где $I_{\text{норм}}$ – ток нормального режима (без перегрузок);

j_3 – нормированная экономическая плотность тока, $\text{А}/\text{мм}^2$.

Экономическим называется такое сечение проводников, при котором обеспечиваются наименьшие расчетные приведенные затраты.

Найденное сечение округляется. При этом принимается ближайшее меньшее стандартное сечение, если оно не отличается от экономического значения больше чем на 15 %. В противном случае принимается ближайшее большее стандартное сечение.

Следует учесть, что по экономической плотности тока не выбираются:

- сборные шины всех напряжений, так как нагрузка по длине шин неравномерна и на многих ее участках меньше рабочего тока;
- ошиновка и кабели резервных линий и резервных трансформаторов с.н., так как они включаются эпизодически;
- токоведущие части всех временных устройств.

Таблица 1.2

Экономическая плотность тока, А/мм²

Проводник	T_{\max} , ч		
	1000 - 3000	3000 - 5000	Свыше 5000
Неизолированные провода и шины: медные	2,5	2,1	1,8
алюминиевые	1,3	1,1	1,0
Кабели с бумажной и провода с резиновой изоляцией с жилами:			
медными	3,0	2,5	2,0
алюминиевыми	1,6	1,4	1,2
Кабели с резиновой и пластмассовой изоляцией с жилами:			
медными	3,9	3,1	2,7
алюминиевыми	1,9	1,7	1,6

При всей простоте выбора проводников и шин по экономической плотности тока следует отметить недостатки метода, связанные с тем, что сечения изменяются дискретно. А также стоимости проводниковых материалов, конструктивных элементов шин и потеря электроэнергии со временем составления таблицы 1.2 j , претерпели существенные изменения.

Метод экономических интервалов предложенный В.А. Вениковым и Ю.Н. Астаховым позволяет учитывать указанные факторы и имеет теоретическое обоснование [3].

1.5.2. Нагрев проводников и определение допустимого тока в длительных режимах

Нагрев проводника (или другого элемента электрической цепи) при прохождении по нему переменного тока описывается уравнением:

$$Q = \Phi dt = I^2 R_a dt = cG d\nu + (\Phi_{\text{л}} + \Phi_{\text{к}}) dt,$$

где I – ток, А;

R_a – активное сопротивление, Ом;

Q – тепловая энергия, Дж;

Φ – тепловой поток, Вт;

c – удельная теплоемкость, Вт·с/(г·°C);

G – масса проводника, г;

$\Phi_{\text{л}}$ – теплоотдача лучеиспусканием, Вт;

$\Phi_{\text{к}}$ – теплоотдача конвекцией, Вт.

Для установившегося режима уравнение упрощается:

$$I^2 R_a = \Phi_{\text{л}} + \Phi_{\text{к}} = \Phi,$$

где R_a , и Φ являются функциями температуры проводника и окружающей среды.

Допускаемые температуры для проводников и кабелей в нормальном режиме приведены в таблице 1.3.

Номинальные значения температуры окружающей среды, $^{\circ}\text{C}$, в таблице 1.4.

Таблица 1.3

Допустимые температуры проводников

Вид и материал проводника	Длительно допустимая температура жил $v_{ж,дл}$, $^{\circ}\text{C}$
Шины и голые провода:	
медные;	70
алюминиевые;	70
стальные, непосредственно не соединенные с аппаратами;	70
то же, непосредственно соединенные с аппаратами	70
Кабели с бумажной пропитанной изоляцией напряжением, кВ:	
до 3	80
6	65
10	60
20	50
35	50
Кабели и провода с резиновой изоляцией:	
обычной	55
теплостойкой	65
Провода с поливинилхлоридной изоляцией	70

При известных нормативных значениях температуры проводника и воздуха можно определить допустимый ток

$$I_{\text{доп}} = \sqrt{\frac{\Phi}{R_a}}.$$

Таблица 1.4

Расчетная температура окружающей среды для проводников и аппаратов

Проводники и аппараты	Среда	Температура v_p , $^{\circ}\text{C}$
Проводники: провода, шины, кабели	Воздух Земля Вода	25 15 15
Аппараты	Воздух	35

Аналитическое определение допустимых токов связано с определением теплового потока с поверхности проводника. Эта задача чрезвычайно сложна в особенности при наружной установке с учетом солнечной радиации и ветра. Поэтому допустимые токи определяют экспериментально с большой точностью. Допустимые токи для стандартных сечений проводников, медных и алюминиевых, сведены в таблицы (приложение 1).

При составлении таблиц принималось, что допустимая температура шин при длительных режимах 70°C , а расчетная температура окружающего воздуха 25°C , соответственно $\theta_{\text{ном}} = 45^{\circ}\text{C}$.

Чтобы температура проводника не превышала допустимого значения, наибольший рабочий ток присоединения не должен превышать допустимого значения

$$I_{\text{доп}} \geq I_{\text{раб.нб}},$$

Где $I_{\text{раб.нб}}$ – наибольший рабочий ток присоединения.

Для шин прямоугольного сечения шириной до 60 мм, расположенных плашмя допустимый ток снижается по сравнению с табличным значением на 5 %, а шириной более 60 мм – на 8 %.

В тех случаях, когда температура воздуха v_b (окружающей среды) отличается от номинальной расчетной $v_{\text{н.ном}}$ зависимость между током, температурой, превышением температуры проводника и температурой воздуха может быть представлена следующим приближенным равенством, вытекающим из допущения, что теплоотдача пропорциональна превышению температуры:

$$\left(\frac{I_{\text{доп}}}{I_{\text{доп.ном}}} \right)^2 \approx \frac{\theta}{\theta_{\text{ном}}} = \frac{v_{\text{п.ном}} - v_b}{v_{\text{п.ном}} - v_{\text{в.ном}}},$$

где $I_{\text{доп.ном}}$ и $I_{\text{доп}}$ – допустимые токи при температурах воздуха $\vartheta_{\text{в.ном}}$ и ϑ_b , откуда

$$v = v_b + (v_{\text{ном}} - v_{\text{в.ном}}) \left(\frac{I_{\text{доп}}}{I_{\text{доп.ном}}} \right)^2 \quad \text{и}$$

$$I_{\text{доп}} = I_{\text{доп.ном}} \sqrt{\frac{v_{\text{п}} - v_b}{v_{\text{п.ном}} - v_{\text{в.ном}}}}.$$

Пример 1.2. Определить длительно допустимый ток для алюминиевой шины 80×6 мм при температуре воздуха в помещении $\vartheta_b = 35^{\circ}\text{C}$.

Решение:

По таблице приложения П1.1 определяем длительный ток при номинальной температуре воздуха $I_{\text{доп}} = 1150 \text{ A}$.

Допустимый ток для $\vartheta_b = 35^{\circ}\text{C}$

$$I_{\text{доп}} = I_{\text{д.ном}} \sqrt{\frac{v_{\text{п}} - v_b}{v_{\text{п}} - v_{\text{в}}}} = 1150 \sqrt{\frac{70 - 35}{70 - 25}} = 1150 \cdot 0,88 = 1012 \text{ A}.$$

Пример 1.3. Выбрать токоведущие части в цепи трансформатора ТРДН 25000 на стороне 10,5 кВ. Допустимая перегрузка трансформатора 45%. Температура окружающей среды 30°C; $T_{\max}=4500$ ч.

Решение. Расчетный ток номинального режима

$$I_{\text{ном}} = \frac{S_{\text{ном.т}}}{2\sqrt{3}U_{\text{ном}}} = \frac{25000}{2\sqrt{3}\cdot 10,5} = 687 \text{ А.}$$

Наибольший рабочий ток

$$I_{\max} = 1,45 \cdot 687 = 996 \text{ А.}$$

Расчетное экономическое сечение для алюминиевых шин

$$q_3 = \frac{I_{\text{ном}}}{j_3} = \frac{687}{1,1} = 624 \text{ мм}^2.$$

Выбираем шины прямоугольного сечения 100×8, $q = 800 \text{ мм}^2$, $I_{\text{доп.ном}} = 1625 \text{ А.}$

$$I_{\text{доп}} = I_{\text{доп.ном}} \sqrt{\frac{\theta_{\text{рас}}}{\theta_{\text{ном}}}} = 1625 \sqrt{\frac{40}{45}} = 1527,5 \text{ А.}$$

Проверка по допустимому току нагрева:

$$I_{\max p} = 1405 \text{ А} < 1527,5 = I_{\text{доп.}}$$

Условие выполняется. По условиям продолжительных режимов выбираются алюминиевые шины сечением 100×8.

1.5.3. Особенности выбора гибких шин и кабелей

В РУ 35 кВ и выше наряду с жесткими шинами применяют гибкие многопроволочные сталеалюминиевые провода, а также пучки из двух, трех и четырех проводов в фазе с дистанционными распорками между ними. Такая конструкция проводника позволяет увеличить рабочий ток и исключить коронирование. В РУ 500 кВ и выше применяют полые алюминиевые провода марок ПА 500 и ПА 640.

Сечение проводов и их число в фазе выбирают в соответствии с рабочим током присоединения, а также номинальным напряжением для исключения коронирования.

Выбор осуществляется также как и для жестких шин:

по экономической плотности тока

$$q_3 = \frac{I_{\text{норм}}}{j_3};$$

по длительно допустимому току

$$I_{\max} \leq I_{\text{доп.}}$$

При проверке на корону принимают во внимание, что расстояния между проводниками фаз в распределительствах меньше чем у воздушных ЛЭП.

Минимальные сечения одиночных проводов и проводов в пучках, исключающие коронирование, для РУ с номинальным напряжением от 110 до 330 кВ, а также допустимые рабочие токи приведены ниже:

Номинальное напряжение, кВ	Марка проводов	Диаметр проводов, мм	Допустимый ток, А
110	1×AC120/19	15,2	380
150	1×AC240/39	21,6	610
220	1×AC240/72	33,2	1050
	3×AC150/24	3×17,1	1335
330	2×AC240/39	2×21,6	1220
	3×AC300/66	3×24,5	2070

Допустимые токи для кабелей приведены в таблицах П2. Табличные значения допустимых токов составлены в расчете на одиночный кабель, проложенный в земле при температуре почвы 15°С или на воздухе при температуре 25°С. При других условиях прокладки кабеля допустимый ток определяется с учетом поправочных коэффициентов на температуру почвы или воздуха (K_1), на число параллельно проложенных кабелей и расстояние между ними (K_2), коэффициент K_3 позволяет учитывать удельное сопротивление земли, при прокладке кабелей в земле.

$$I'_{\text{доп}} = K_1 K_2 K_3 I_{\text{доп}}.$$

При прокладке кабелей в блоках допустимый ток определяется с учетом поправочных коэффициентов от напряжения кабеля, средней загрузки всего блока, номера кабеля в блоке и сечения кабеля [4].

2. ПРОВЕРКА ТОКОВЕДУЩИХ ЧАСТЕЙ И ШИН ПО УСЛОВИЯМ КОРОТКОГО ЗАМЫКАНИЯ

2.1. Термическая стойкость проводников

Продолжительность КЗ составляет обычно доли секунды и, как исключение, может достигнуть нескольких секунд. В течение этого короткого промежутка времени выделение тепла настолько велико, что температура проводников и аппаратов выходит за пределы, установленные для нормального режима. Процесс нагревания прекращается в момент автоматического отключения поврежденного участка системы, после чего происходит относительно медленное остывание.

Свойство (способность) аппарата и проводника противостоять кратковременному тепловому действию тока КЗ без повреждений, препятствующих дальнейшей исправной работе, называется термической стойкостью. Критерием термической стойкости является конечная температура, которая ограничивается механической прочностью металлов, деформациями

частей аппаратов, а также нагревостойкостью изоляции. Допустимые конечные температуры для аппаратов и проводников (табл. 2.1) установлены на основании опыта. Они выше допустимых температур при нормальной работе, поскольку изменение механических свойств металлов и износ изоляции определяются не только температурой, но также продолжительностью нагревания, которая в рассматриваемых условиях мала. Как видно из табл. 2.1, допустимые конечные температуры при КЗ лежат в пределах от 120 до 300°C, в то время как допустимые температуры при нормальной работе, как правило, не превышают 60 – 80°C.

Таблица 2.1

Допустимые конечные температуры проводников и аппаратов при КЗ

Наименование проводников, частей аппаратов	Конечная температура, °C
Неизолированные медные и латунные проводники, части аппаратов	300
Неизолированные алюминиевые проводники, части аппаратов	200
Кабели с бумажной пропитанной изоляцией до 10 кВ с медными и алюминиевыми жилами	200
Кабели 20 – 220 кВ	125
Кабели и провода с поливинилхлоридной изоляцией, с медными и алюминиевыми жилами	150
То же, но, с полиэтиленовой изоляцией	120

При проверке на термическую стойкость пренебрегают теплоотдачей, что не вносит заметной ошибки.

Таким образом, процесс нагрева при КЗ определяется уравнениями:

$$I_{kt}^2 r_v dt = G C_v d\nu, \quad (2.1)$$

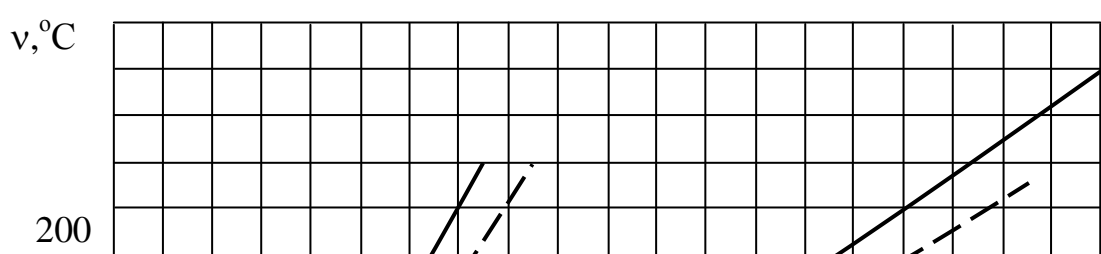
где r_v , C_v - соответственно, сопротивление и теплоемкость проводника для температуры ν ,

G – масса проводника.

После подстановки G , r_v и разделения переменных:

$$\begin{aligned} \frac{1}{q^2} I_{kt}^2 dt &= \frac{\gamma C_v}{\rho_v} d\nu; \\ \frac{1}{q^2} \int_0^{t_{отк}} I_{kt}^2 dt &= \int_{\nu_v}^{\nu_k} \gamma \frac{C_v}{f_v} d\nu, \end{aligned} \quad (2.2)$$

где γ , q – удельная проводимость и площадь поперечного сечения проводника.



Для неизолированных проводников при номинальных условиях $v_{\text{нач}}=70^{\circ}\text{C}$.

При этом

$$A_k = A_{\text{нач}} + \frac{B_k}{q^2}. \quad (2.4)$$

По значению A_k и рис. 2.1 определяется температура v_k в конце короткого замыкания.

Проводник термически устойчив, если $v_k \leq v_{\text{доп}}$ (табл. 2.1).

Часто определяют термическую стойкость шин и кабелей по минимально допустимой площади сечения:

$$q_{\text{мин,доп}} = \sqrt{\frac{B_k}{A_{k,\text{доп}} - A_n}} = \frac{\sqrt{B_k}}{C}. \quad (2.5)$$

Значения коэффициентов $C \left(\frac{A \cdot C^{1/2}}{MM^2} \right)$ приведены в таблице 2.2.

Таблица 2.2

Допустимые температуры и соответствующие им коэффициенты C

для шин и кабелей

	$\theta_{\text{к,доп}}, ^\circ\text{C}$	C
Шины:		
из меди	300	170
из алюминия	200	90
из стали, не соединенные непосредственно с аппаратом	400	65
из стали, соединенные непосредственно с аппаратом	300	60
Кабель до 10 кВ с бумажной изоляцией и жилами:		
из меди	200	160
из алюминия	200	90

Условия термической стойкости при этом определяется выражением $q_{\min \text{ доп}} \leq q_{\text{расч}}$, где $q_{\text{расч}}$ – площадь сечения проводника выбранная по условиям рабочего режима.

2.2. Динамическая стойкость проводников

Определение интеграла Джоуля

Количество выделившегося тепла в проводнике определяется импульсом квадратичного тока

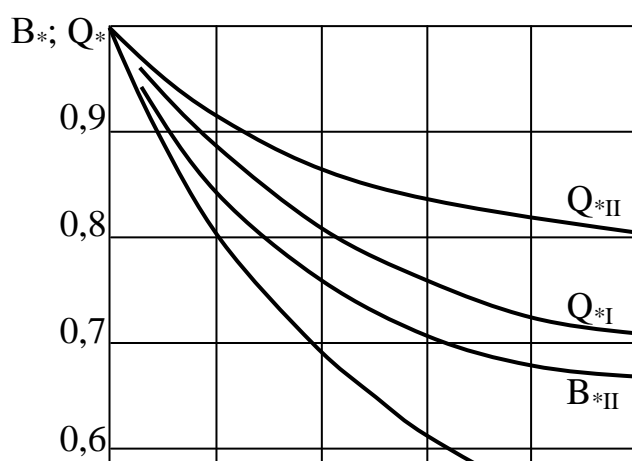
$$B_{\text{k}} = \int_0^{t_{\text{k}}} i^2 dt = \int_0^{t_{\text{k}}} (i_{\text{n}} + i_{\text{a}})^2 dt. \quad (2.6)$$

Для электрически удаленного КЗ импульс квадратичного тока определяют по выражению

$$B_{\text{k}} = I_{\text{n}0}^2 (t_{\text{отк}} + T_{\text{a}}), \quad (2.7)$$

где $t_{\text{отк}} = t_3 + t_{\text{в}}$, t_3 – время действия основной релейной защиты, $t_{\text{в}}$ – полное время отключения выключателя; T_{a} – постоянная времени цепи КЗ.

В двухлучевой схеме вида "генератор-система" для расчета импульса от периодической составляющей тока КЗ используют кривые относительных импульсов – токовых Q_* и квадратичных токовых B_* (рис. 2.2). Относительный импульс – это отношение импульса от затухающего периодического тока КЗ генератора к импульсу от незатухающего тока. При использовании относительных импульсов выражение для расчета B_{n} получит вид:



$$B_n = t_{\text{отк}} (I_{\text{п.с}}^2 + 2I_{\text{п.с}} I_{\text{пп0}} Q_* + I_{\text{пп0}}^2 B_*). \quad (2.8)$$

Импульс от апериодической составляющей тока в месте КЗ вычисляют следующим образом:

$$B_a = I_{\text{п.с}}^2 T_{\text{а.с}} + I_{\text{пп0}}^2 T_{\text{ар}} + \frac{4I_{\text{п.с}} I_{\text{пп0}}}{\frac{1}{T_{\text{п.с}}} + \frac{1}{T_{\text{ар}}}}. \quad (2.9)$$

Значения постоянных времени затухания апериодической составляющей КЗ для элементов электрической системы приведены в таблице 2.3.

Термический импульс короткого замыкания

$$B_{\text{КЗ}} = B_n + B_a. \quad (2.10)$$

При КЗ вблизи группы электродвигателей она заменяется эквивалентным двигателем. Для двухлучевой схемы вида "двигатель – система" также тепловые импульсы определяются раздельно от периодической и апериодической составляющих тока.

$$B_p \approx I_{\text{пос}}^2 t_{\text{откл}} + 0,5 I_{\text{под}}^2 T_d + 2I_{\text{пос}} I_{\text{под}} T_{\text{под}}, \quad (2.11)$$

где $I_{\text{пос}}$, $I_{\text{под}}$ – соответственно сверхпереходной ток КЗ от системы и эквивалентного двигателя;

$T_{\text{пд}}$ – постоянная времени затухания периодической составляющей эквивалентного двигателя (0,07 с).

Импульс квадратичных составляющих от апериодических составляющих токов системы и эквивалентного двигателя

$$B_{\text{ка}} \approx (I_{\text{пос}} + I_{\text{под}}) T_{\text{а cx}}, \quad (2.12)$$

где $T_{\text{а cx}}$ – расчетная постоянная времени изменения апериодического тока для схемы.

$$T_{\text{а cx}} = \frac{T_{\text{ac}} I_{\text{пос}} + T_{\text{ад}} I_{\text{под}}}{I_{\text{пос}} + I_{\text{под}}}. \quad (2.13)$$

Постоянная времени системы T_{ac} определяется по таблице 2.2, а постоянная времени апериодической оставляющей эквивалентного двигателя можно принимать $T_{\text{ад}} = 0,04$ с.

Следует отметить, что во многих случаях токоведущие части имеют значительные запасы по термической стойкости. Поэтому допускается выполнять расчет термического импульса по выражению $B_k = I_{\text{по}}^2 (t_{\text{отк}} + T_a)$, дающему несколько завышенный результат, и, в случае необходимости, можно уточнить значение импульса по формулам для схемы "двуухлучевая звезда".

Таблица 2.3

Электрическая система, элемент системы	$T_a, \text{с}$	k_y
Турбогенераторы мощностью, МВт: 12 – 60 100-1000	0,16 – 0,25 0,4 – 0,54	1,940 – 1,955 1,975 – 1,980
Блок турбогенератор (60 МВт) – трансформатор при номинальном напряжении генератора, кВ: 6,3 10,5	0,20 0,15	1,95 1,935
Блок турбогенератор – повышающий трансформатор при мощности генератора, МВт: 100 – 200 300 500 800	0,26 0,32 0,35 0,30	1,965 1,977 1,983 1,967
Система, связанная с шинами, где рассматривается КЗ, воздушными линиями напряжением, кВ: 35 110 – 150 220 – 330 500 - 750	0,02 0,02 – 0,03 0,03 – 0,04 0,06 – 0,08	1,61 1,61 – 1,72 1,72 – 1,78 1,85 – 1,89
Система, связанная со сборными шинами 6 – 10 кВ через трансформаторы единичной мощностью, МВ·А: 80 и выше 32 – 80 32 и ниже	0,06 – 0,15 0,05 – 0,1 0,045 – 0,07	1,85 – 1,935 1,82 – 1,90 1,80 – 1,85
Ветви, защищенные реактором с номинальным током, А: 1000 и выше 630 и ниже РУ 6 – 10 кВ	0,23 0,10 0,01	1,956 1,90 1,37

Пример 2.1:

Определить минимальное термически стойкое сечение для шин РУ-10 кВ подстанции с трансформаторами ТДТН-40000 кВ·А, $U_{\text{квн}}=22\%$. К секции шин подключены высоковольтные электродвигатели $S_{\Sigma}=12$ МВ·А. Ток КЗ в распредустройстве 220 кВ $I_{\text{но}}=4,8$ кВ. Пусковой ток

эквивалентного электродвигателя $I_{*n}=5,6$. Время отключения КЗ $t_{отк}=t_{пз} + t_{об}=1+1,1=1,1$ с.

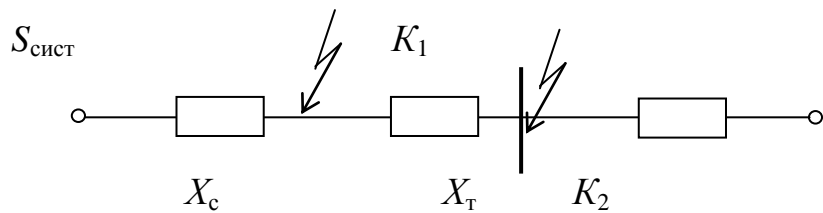
Решение:

Определим токи КЗ в РУ-6 кВ

$$S_6=100 \text{ мВ}; U_6=6,3 \text{ кА}; I_{66}=9,18 \text{ кА}; I_{6220} = \frac{100}{\sqrt{3} \cdot 230} 0,25 \text{ кА}.$$

Сопротивление системы

$$X_{*c} = \frac{I_{6220}}{I_{no}^{k1}} = \frac{0,25}{4,8} = 0,0521.$$



Сопротивление трансформатора

$$X_{*T} = \frac{U_k}{100} \cdot \frac{S_6}{S_n} = \frac{22}{100} \cdot \frac{100}{40} = 0,55.$$

Ток короткого замыкания от системы в РУ-6 кВ

$$I_{pos}^{k2} = \frac{I_{66}}{X_{*c} + X_{*T}} = \frac{9,18}{0,602} = 15,25 \text{ кА}.$$

Начальное значение тока КЗ от эквивалентного электродвигателя

$$I_{nd} = I_{*nd} \cdot I_{nd} = 5,6 \cdot \frac{12}{\sqrt{3} \cdot 6,3} = 6,27 \text{ кА}.$$

Определим термический импульс короткого замыкания в РУ-6 кВ.

$$B_{kp} = I_{pos}^2 t_{откл} + 0,5 I_{под}^2 T_{под} + 2 I_{pos} I_{под} T_{под} = 15,25^2 \cdot 1,1 + 0,5 \cdot 6,17^2 \cdot 0,07 + 2 \cdot 15,25 \cdot 6,17 \cdot 0,07 = 255,82 + 1,33 + 13,17 = 270,3 \text{ кА}^2 \cdot \text{с};$$

$$B_{ka} = (15,25 + 6,17)^2 T_{acx} = 21,42^2 \cdot 0,069 = 31,66 \text{ кА}^2 \cdot \text{с};$$

$$T_{acx} = \frac{T_{ac} I_{pos} + T_{ad} I_{под}}{I_{pos} + I_{под}} = \frac{15,25 \cdot 0,08 + 6,17 \cdot 0,04}{21,42} = 0,069 \text{ с};$$

$$B_k = 302 \text{ кА}^2 \cdot \text{с} = 302 \cdot 10^6 \text{ А}^2 \cdot \text{с}.$$

Минимальное термически стойкое сечение алюминиевых шин

$$q_{min} = \frac{\sqrt{B_k}}{c} = \frac{\sqrt{302 \cdot 10^6}}{90} = \frac{17,4 \cdot 10^3}{90} = 193,3 \text{ мм}^2.$$

При определении B_k без учета затухания тока электродвигателей

$$B_k = 21,52^2 \cdot 1,1 = 504 \text{ кА}^2 \cdot \text{с};$$

$$q_{\min} = \frac{\sqrt{504 \cdot 10^6}}{90} = \frac{2,25 \cdot 10^4}{90} = 250 \text{ мм}^2.$$

Таким образом, расчет по упрощенному выражению завышает сечение почти на 30 %, но при этом для расчетной схемы оно значительно меньше выбранного сечения шины по условиям длительного режима.

2.2. Динамическая стойкость проводников

Жесткие шины, укрепленные на изоляторах, представляют собой динамическую колебательную систему, находящуюся под воздействием электродинамических сил. В такой системе возникают колебания, частота которых зависит от массы и жесткости конструкций. Электродинамические силы, возникающие при КЗ, имеют составляющие, которые изменяются с частотой 50 и 100 Гц. Если собственные частоты колебательной системы шины — изоляторы совпадут с этими значениями, то нагрузки на шины и изоляторы возрастут. Если собственные частоты меньше 30 и больше 200 Гц, то механического резонанса не возникает. В большинстве практически применяемых конструкций шин эти условия соблюдаются, поэтому ПУЭ не требуют проверки на электродинамическую стойкость с учетом механических колебаний. В частных случаях, например при проектировании новых конструкций РУ с жесткими шинами, производится определение частоты собственных колебаний для алюминиевых шин:

$$f_0 = \frac{173,2}{l^2} \sqrt{\frac{J}{q}}; \quad (2.14)$$

для медных шин

$$f_0 = \frac{125,2}{l^2} \sqrt{\frac{J}{q}}, \quad (2.14)$$

где l - длина пролета между изоляторами, м; J - момент инерции поперечного сечения шины относительно оси, перпендикулярной направлению изгибающей силы, см⁴; q - поперечное сечение шины, см².

Изменяя длину пролета и форму сечения шин, добиваются того, чтобы механический резонанс был исключен, т. е. $f_0 > 200$ Гц. В этом случае проверка шин на электродинамическую стойкость производится в предположении, что шины и изоляторы являются статической системой с нагрузкой, равной максимальной электродинамической силе, возникающей при КЗ.

Наибольшие электродинамические усилия возникают обычно при трехфазном коротком замыкании. Поэтому в дальнейших расчетах на динамическую стойкость учитывается ударный ток трехфазного КЗ.

Равномерно распределенная сила f создает изгибающий момент, Н/м (шина рассматривается как многопролетная балка, свободно лежащая на опорах)

$$M = \frac{fl^2}{10},$$

где f – длина пролета между опорными изоляторами шинной конструкции, м.

При расположении шин в плоскости наибольшие динамические нагрузки возникают в средней фазе. Максимальное распределенное усилие на единицу длины средней фазы при трехфазном КЗ

$$f_{\max} = 1,76 \frac{i_y^2}{a} \cdot 10^{-7}, \quad (2.15)$$

где i_y – ударный ток КЗ, А, a – расстояние между осями смежных фаз, м.

Напряжение в материале шины, возникающее при воздействии изгибающего момента, Мпа,

$$\sigma_{\text{расч}} = \frac{M}{W} = \frac{fl^2}{10W} = \sqrt{3} \cdot 10^{-8} \frac{i_y^2 l^2}{Wa}, \quad (2.16)$$

где W - момент сопротивления шины относительно оси, перпендикулярной действию усилия, см³ (табл. 2.5). Шины механически прочны, если

$$\sigma_{\text{расч}} \leq \sigma_{\text{доп}}, \quad (2.17)$$

где $\sigma_{\text{доп}}$ - допустимое механическое напряжение в материале шин (табл. 2.5).

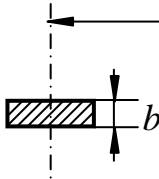
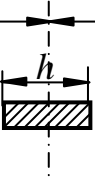
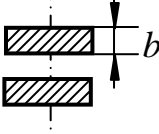
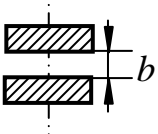
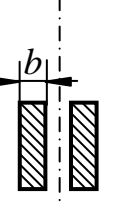
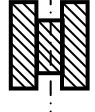
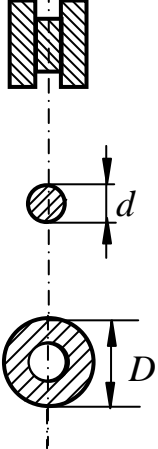
Расстояние a принимается в соответствии с типовыми конструкциями РУ 6-10 кВ в пределах 40-80 см, а пролет в пределах $l=1,5 \div 2$ м, обычно принимают равным или кратным шагу ячейки.

Таблица 2.4

Допустимое механическое напряжение в материале шин

Материал	Марка	$\sigma_{\text{доп}}$, МПа	Модуль упругости E , 10^4 МПа
<i>Алюминий</i>	АО, А1	82,3	7
	АДО	41,2 - 48	-
<i>Алюминиевый сплав</i>	АД31Т	89,2	-
	АД31Т1	137,2	-
<i>Медь</i>	МГМ	171,5 – 178,4	10
	МГТ	171,5 – 205,8	10
<i>Сталь</i>	Ст. 3	260,7 – 322,4	20

Таблица 2.5
Момент сопротивления и инерции характерных профилей шин

Расположение шин	Момент инерции	Момент сопротивления
	$\frac{bh^3}{12}$	$\frac{bh^2}{6}$
	$\frac{hb^3}{12}$	$\frac{hb^2}{6}$
	$\frac{bh^3}{6}$	$\frac{bh^2}{3}$
	$\frac{hb^3}{6}$	$\frac{hb^2}{3}$
	$0,72b^3h$	$1,44b^2h$
	$\frac{\pi d^4}{64}$	$\frac{\pi d^3}{32}$
	$\frac{\pi(D^4 - d^4)}{64}$	$\frac{\pi(D^4 - d^4)}{32D}$

Механический расчет двухполосных шин. Если каждая фаза выполняется из двух полос (рис. 2.3), то возникают усилия между полосами и между фазами. Усилие между полосами не должно приводить к их соприкосновению. Для того чтобы уменьшить это усилие, в пролете между полосами устанавливаются прокладки. Пролет между прокладками l_{π} выбирается таким образом, чтобы электродинамические силы, возникающие при КЗ, не вызвали соприкосновения полос:

$$l_{\pi} < 0,216 \sqrt{\frac{a_{\pi}}{i_y^3}} \sqrt[4]{\frac{EJ_{\pi}}{k_{\phi}}}, \quad (2.18)$$

где a_{π} – расстояние между осями полос, см;

k_{ϕ} – коэффициент формы шин (рис. 2.5), учитывающий влияние поперечных размеров проводника на силы взаимодействия.

Чтобы не происходило резкого увеличения усилий в полосах в результате механического резонанса, частота собственных колебаний системы должна быть больше 200 Гц. Исходя из этого l_{π} выбирается еще по одному условию:

$$l_{\pi} < 1,33 \cdot 10^{-3} \sqrt[4]{\frac{EJ_{\pi}}{m_{\pi}}}, \quad (2.19)$$

где m_{π} – масса полосы на единицу длины, кг/м.

Силу взаимодействия между полосами в пакете из двух полос можно определить

$$f_{\pi} = 2k_{\phi} \cdot \frac{(0,5i_y)^2}{2b} \cdot 10^{-7} = 0,25k_{\phi} \cdot \frac{i_y^2}{b} \cdot 10^{-7}. \quad (2.20)$$

Напряжение в материале шин от взаимодействия полос рассматриваются как балки с равномерно распределенной нагрузкой и защемленными концами, МПа,

$$\sigma_{\pi} = \frac{f_{\pi} l_{\pi}^2}{12W_{\pi}}, \quad (2.21)$$

где W_{π} – момент сопротивления одной полосы, см³; l_{π} – расстояние между прокладками, м.

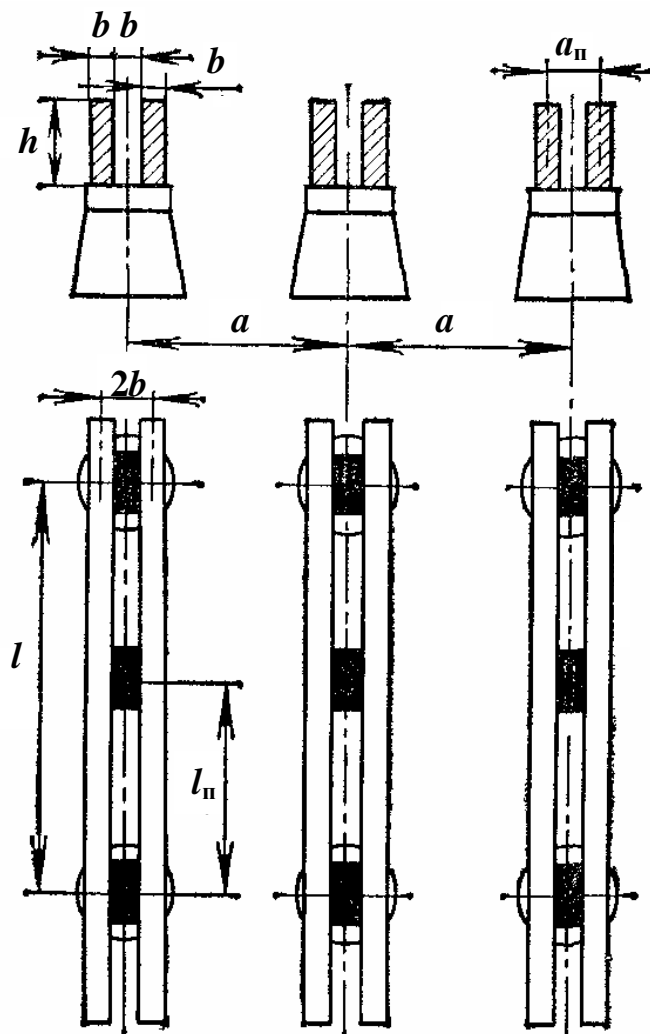


Рис. 2.3. Эскиз расположения двухполосных шин

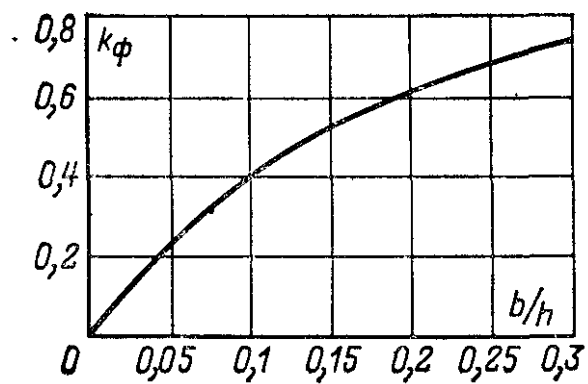


Рис. 2.4. Кривые для определения коэффициента k_ϕ для двухполосных шин при $a_n = 2b$

Условия механической прочности имеет вид

$$\sigma_{\text{расч}} = \sigma_\phi + \sigma_n \leq \sigma_{\text{доп.}} \quad (2.22)$$

Если это условие не соблюдается, то следует уменьшить σ_ϕ или σ_n , что можно сделать, уменьшив l_ϕ или l_n или увеличив a или W_ϕ .

Решив уравнение для σ_n относительно l_n , можно определить максимально допустимое расстояние между прокладками

$$l_{n\max} = \sqrt{12(\sigma_{\text{доп}} - \sigma_\phi) \frac{W_n}{f_n}}. \quad (2.23)$$

Длину l_n из конструктивных соображений принимают кратной l_ϕ .

При определении сил взаимодействия между швеллерами составляющими шину коробчатого сечения, принимают $k_\phi=1$; расстояние между осями проводников берут равными размеру h , и тогда

$$f_n = 0,5 \cdot \frac{i_y^2}{h} \cdot 10^{-7}. \quad (2.24)$$

Расчетный момент сопротивления $W_n = W_{y-y}$, а расчетное сопротивление в материале от взаимодействия между швеллерами $\sigma_n = \frac{f_n l_n^2}{12W_n}$.

Для шин коробчатого сечения при взаимодействии фаз напряжение в материале шин определяется с учетом вектора приложения силы.

Если шины расположены горизонтально (рис. 2.5a) и шины соединены между собой жестко, то

$$W_\phi = W_{y0-y0}.$$

При отсутствии жесткого соединения

$$W_\phi = 2W_{y-y}.$$

Для вертикального расположения шин (рис. 2.5б)

$$W_\phi = 2W_{x-x}.$$

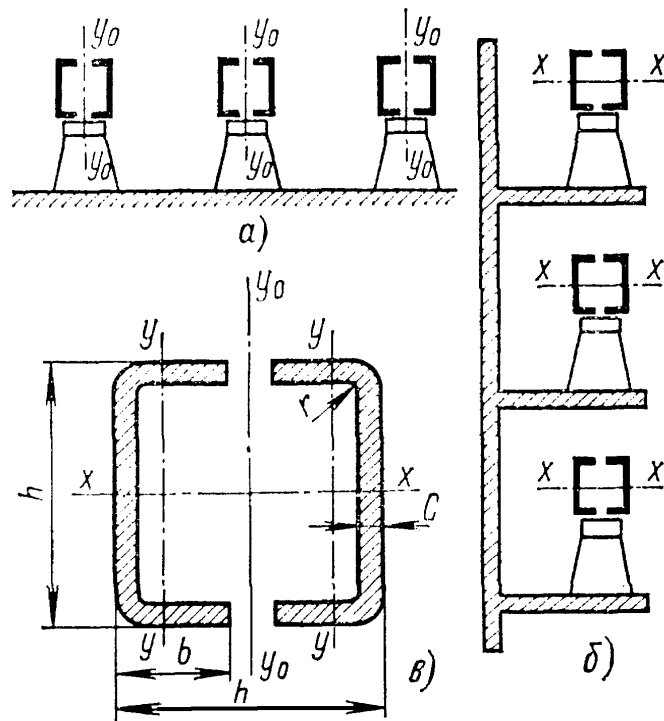


Рис. 2.5. К механическому расчету шин коробчатого сечения.

a — горизонтальное расположение;

б — вертикальное расположение,

в — сечение коробчатой шины.

Если шины расположены по вершинам треугольника, то механический расчет выполняется по формулам, приведенным в таблице 2.6.

Выбор изоляторов. В распределительных устройствах шины крепятся на опорных, проходных и подвесных изоляторах. Жесткие шины крепятся на опорных изоляторах, выбор которых производится по следующим условиям:

по номинальному напряжению $U_{\text{уст}} \leq U_{\text{ном}}$;

по допускаемой нагрузке $F_{\text{расч}} \leq F_{\text{доп}}$,

где $F_{\text{расч}}$ - сила, действующая на изолятор;

$F_{\text{доп}}$ - допустимая нагрузка на головку изолятора.

$$F_{\text{доп}} = 0,6 F_{\text{разр}},$$

где $F_{\text{разр}}$ - разрушающая нагрузка на изгиб.

Таблица 2.6

Формулы для механического расчета шин, расположенных в вершинах треугольника

Эскиз расположения шин	Напряжение в материале шин от взаимодействия между фазами, МПа
	$\sigma_{\phi,\max} = \sqrt{3} \frac{i_y^2 l^2}{a W_\phi} \cdot 10^{-8}$
	$\sigma_{\phi,\max} = 2,5 \frac{i_y^2 l^2}{a W_{y0-y0}} \cdot 10^{-8}$
	$\sigma_{\phi,\max} = 1,64 \frac{i_y^2 l^2}{a W} \cdot 10^{-8}$
	$\sigma_{\phi,\max} = 2,2 \frac{i_y^2 l^2}{a W_{y0-y0}} \cdot 10^{-8}$

При горизонтальном или вертикальном расположении изоляторов всех фаз расчетная сила, Н,

$$F_{\text{расч}} = \sqrt{3} \frac{i_y^2}{a} \cdot lk_{\pi} \cdot 10^{-7} = f_{\phi} lk_{\pi}, \quad (2.25)$$

где k_{π} – поправочный коэффициент на высоту шины, если она расположена «на ребро» (рис. 2.5):

$$k_{\pi} = \frac{H}{H_{из}}; H = H_{из} + b + \frac{h}{2}, \quad (2.26)$$

где $H_{из}$ – высота изолятора.

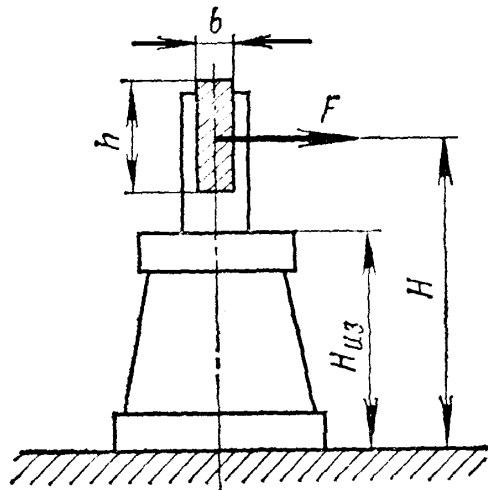


Рис. 2.5. К определению расчетной нагрузки на изолятор

При расположении шин в вершинах треугольника

$$F_{расч} = k_{\pi} F_i,$$

где F_i – изгибающая сила определяется по таблице 2.6.

Разрушающая нагрузка для опорных изоляторов приведена в таблице 2.7.

Таблица 2.7

Тип изолятора	$F_i, \text{Н}$
ОФ-6-375, ОФ-10-375, ОФ-20-375, ОФ-35-375	3 750
ОФ-6-750, ОФ-10-750, ОФ-20-750, ОФ-35-750	7 500
ОФ-10-1250	12 500
ОФ-10-2000, ОФ-20-2000	20 000
ОФ-20-3000	30 000

Проходные изоляторы выбираются:

по напряжению $U_{уст} \leq U_{ном}$;

по номинальному току $I_{max} \leq I_{ном}$;

по допустимой нагрузке $F_{расч} \leq F_{доп}$.

При этом расчетная сила для проходных изоляторов определяется по выражению $F_{расч} = 0,5f_{\phi}l$.

Пример 2.2:

Выбрать сборные шины 10,5 ГРУ ТЭЦ и опорные изоляторы к ним для следующих данных:

- температура наиболее жаркого месяца 30°C ;
- токи продолжительных режимов $I_{\text{ном}} = 4130 \text{ A}$; $I_{\text{max p}} = 4350 \text{ A}$;
- расстояние между фазами $a = 0,8 \text{ м}$;
- длина пролета $l = 2,0 \text{ м}$;
- токи короткого замыкания на шинах $I_{\text{пог}} = 28,2 \text{ kA}$; $I_{\text{пос}} = 32,3 \text{ kA}$;
- время отключения КЗ $t_{\text{отк}} = 2 \text{ с}$.

Решение:

Сборные шины по экономической плотности тока не выбираются, поэтому сечение выбираем по допустимому току. Принимаем шины коробчатого сечения, алюминиевые $2(125 \times 55 \times 6,5)$ мм, высота $h=123$ мм; ширина полки $b=55$ мм; толщина шины $c=6,5$ мм; сечение $(2 \times 1370) \text{ mm}^2$; $W_{y0-y0}=100 \text{ cm}^3$; $W_{y-y}=9,5 \text{ cm}^3$; $I_{\text{доп}}=4640 \text{ A}$.

Допустимый ток с учетом поправки на температуру окружающей среды:

$$I'_{\text{доп}} = I_{\text{доп}} \sqrt{\frac{\nu_{\text{доп}} - \nu_{\text{o.ф}}}{\nu_{\text{доп}} - \nu_{\text{o.н}}}} = 4640 \sqrt{\frac{40}{45}} = 4640 \cdot 0,94 = 4362 \text{ A}.$$

Проверка на термическую стойкость.

Определяется термический импульс короткого замыкания по (2.8), (2.9):

$$\begin{aligned} B_{\text{п}} &= t_{\text{откл}} (I_{\text{пог}}^2 + 2I_{\text{пог}} I_{\text{пог}} Q_* + I_{\text{пог}}^2 B_*) = \\ &= 2(32,3^2 + 2 \cdot 32,3 \cdot 28,2 \cdot 0,6 + 28,2^2 \cdot 0,36) \cdot 10^6 = 2422,6 \cdot 10^6 (\text{A}^2 \cdot \text{c}); \end{aligned}$$

$$\begin{aligned} B_{\text{a}} &= I_{\text{пог}}^2 T_{\text{ac}} + I_{\text{пог}}^2 T_{\text{ар}} + \frac{4I_{\text{пог}} \cdot I_{\text{пог}}}{1/T_{\text{ac}} + 1/T_{\text{ар}}} = \\ &= \left(32,3^2 \cdot 0,1 + 28,2^2 \cdot 0,25 + \frac{4 \cdot 32,3 \cdot 28,2}{1/0,1 + 1/0,25} \right) \cdot 10^6 = 563,3 \cdot 10^6 (\text{A}^2 \cdot \text{c}); \end{aligned}$$

$$B_{\text{k}} = B_{\text{п}} + B_{\text{а}} = 2986 \cdot 10^6 (\text{A}^2 \cdot \text{c}).$$

Минимальное термически стойкое сечение шин по выражению (2.5)

$$q_{\text{min,доп}} = \frac{\sqrt{B_{\text{k}}}}{C} = \frac{\sqrt{2986}}{90} \cdot 10^3 = 605,6 \text{ mm}^2,$$

где $C = 90$

$605,6 > 2 \cdot 1370$, термическая стойкость шин обеспечивается.

Частота собственных колебаний шинной конструкции по (2.14)

$$f_0 = \frac{173,2}{2^2} \sqrt{\frac{625}{2 \cdot 13,7}} = 206,5 \text{ Гц.}$$

Т.к. $f_0 > 200$ Гц, то расчет можно вести по формулам для статической системы.

Момент сопротивления сечения для двух сращенных шин $W_{y0-y0}=100 \text{ см}^3$, тогда

$$\sigma_{\phi\max} = 1,76 \cdot \frac{i_y^2 l^2}{a W_{y0-y0}} \cdot 10^{-8} = 1,76 \cdot \frac{161,7^2 \cdot 2^2 \cdot 10^{-2}}{0,8 \cdot 100} = 23,01 \text{ мПа},$$

где $i_{y\Sigma} = \sqrt{2}K_{yc}I_{\text{пос}} + \sqrt{2}K_{yr}I_{\text{пог}} = \sqrt{2}(1,82 \cdot 32,3 + 1,955 \cdot 28,2) = 161,7 \text{ кА}$.

Сила взаимодействия между швеллерами

$$f_n = 0,5 \cdot \frac{i_y^2}{h} \cdot 10^{-7} = 0,5 \cdot \frac{26147}{0,125} \cdot 10^{-1} = 10459 \text{ Н/м.}$$

Максимальное расстояние между местами сварки швеллеров:

$$l_{n\max} = \sqrt{\frac{12(\sigma_{\text{доп}} - \sigma_{\phi})W_n}{f_n}} = \sqrt{\frac{12(82,3 - 23,01)9,5}{10459}} = 0,8 \text{ м},$$

где $W_n = W_{y-y}=9,5 \text{ см}^3$ и $\sigma_{\text{доп}} = 82,3 \text{ Мпа}$.

Выбор изоляторов.

Предварительно выбираем ОФ-10-2000. Максимальная сила, действующая на изгиб

$$F_i = 1,76 \cdot \frac{i_y^2 l}{a} \cdot 10^{-7} = 1,76 \cdot \frac{161,7^2 \cdot 10^6 \cdot 2}{0,8} \cdot 10^{-7} = 11504 \text{ Н.}$$

Поправка на высоту коробчатых шин

$$k_h = \frac{H}{H_{iz}} = \frac{H_{iz} + c + \frac{h}{2}}{H_{iz}} = \frac{235 + 6,5 + \frac{125}{2}}{235} = 1,29;$$

$$F_{\text{расч}} = k_h F_i = 1,29 \cdot 11504 = 14841 \text{ Н};$$

$$F_{\text{расч}} = 14841 > 0,6 F_{\text{разр}} = 0,6 \cdot 20000 = 12000 \text{ Н.}$$

Изолятор ОФ-10-2000 не проходит по механической прочности.

Выбираем ОФ-10-3000, тогда

$$F_{\text{расч}} = 14841 < 18000 \text{ Н.}$$

Выбор гибких шин и токопроводов

В РУ 35 кВ и выше применяются гибкие шины, выполненные проводами АС. Гибкие токопроводы применяются также для соединения трансформаторов с РУ 6-10 кВ. Они выполняются пучком проводов, закрепленных по окружности в кольцах-обоймах. Два провода из пучка - сталеалюминиевые - несут в основном механическую нагрузку от собственного веса, гололеда и ветра. Остальные провода - алюминиевые - являются только токоведущими. Сечение отдельных проводов в пучке рекомендуется выбирать возможно большими ($500, 600 \text{ мм}^2$), так как это уменьшает число проводов и стоимость токопровода.

Условия выбора гибких проводников и кабелей по длительным режимам приведены в п. 1.5.3.

По режиму КЗ, согласно ПУЭ, должны проверяться воздушные линии электропередачи при ударном токе КЗ 50 кА и более для предупреждения склестывания проводов при динамическом действии токов КЗ. Импульсы силы, действующие на гибкие проводники и поддерживающие их изоляторы, выводы и конструкции, рассчитываются по среднеквадратичному току двухфазного замыкания между соседними фазами. При расцепленных проводах и гибких токопроводах взаимодействие токов КЗ в проводниках одной и той же фазы определяется по действующему значению тока трехфазного КЗ.

Гибкие шины РУ должны проверяться на электродинамическое действие тока КЗ при мощности большей или равной значений приведенных в таблице 2.8.

Таблица 2.8

Номинальное напряжение, кВ	110	220	330
Мощность КЗ, МВ·А	4000	8000	12000

При этом определяется сближение гибких токопроводов при протекании токов КЗ и по диаграммам [5, 6] сравнивается с допустимыми значениями. Наименьшие допустимые расстояния в свету между соседними фазами в момент их наибольшего сближения приведены ниже. Для токопроводов генераторного напряжения $a_{\text{доп}} = 0,2 \text{ м}$; для ОРУ 110 кВ – 0,45 м; 220 кВ – 0,95 м; 330 кВ – 1,4 м.

Согласно ПУЭ на термическую стойкость не требуется проверять провода воздушных линий за исключением случаев, когда они оборудованы устройствами быстродействующего АПВ.

При проверке на термическую стойкость аппаратов и проводников линий, оборудованных устройствами быстродействующего АПВ, должно учитываться повышение нагрева из-за увеличения суммарной продолжительности прохождения тока по таким линиям.

Пример 2.3:

На подстанции 110 кВ выбрать сборные шины ОРУ. Проверить возможность применения жестких трубчатых шин. Данные: $S_{\text{max}}=300 \text{ МВ·А}$; $I_{\text{по}}=25 \text{ кА}$; $l_{\text{пр}}=5 \text{ м}$; междуфазные расстояния для жестких шин $a_{\phi}=1,4 \text{ м}$.

Решение:

Максимальный ток нагрузки

$$I_{\text{м.нагр}} = \frac{S_{\text{max}}}{\sqrt{3} \cdot U_{\text{h}}} = \frac{300}{\sqrt{3} \cdot 110} = 1,57 \text{ кА.}$$

Предварительно выбираем трубчатую алюминиевую шину 74/80 ($D=80, d=74$) $I_{\text{доп}}=1770 \text{ А}$.

Сборные шины по экономической плотности тока не выбираются.

Проверка на динамическую стойкость:

$$J = \frac{\pi(D^4 - d^4)}{64} = 53,86 \text{ см}^4;$$

$$q = \frac{\pi D^2}{4} - \frac{\pi d^2}{4} = 7,25 \text{ см}^2;$$

$$\nu = \frac{173,2}{l_{\text{пп}}^2} \sqrt{\frac{J}{q}} = \frac{173,2}{52} \sqrt{\frac{53,8}{7,25}} = 18,87;$$

$$i_y = \sqrt{2} K_y I_{n0} = \sqrt{2} \cdot 1,7 \cdot 25 = 60,35 \text{ кА};$$

$$f_{\max} = 1,76 \cdot \frac{i_y^2}{a_{\phi}} \cdot 10^{-7} = 1,76 \cdot \frac{60,35^2 \cdot 10^6}{1,4} \cdot 10^{-7} = 457,9 \text{ Н/м};$$

$$W = 0,1 \cdot \frac{D^4 - d^4}{D} = 0,1 \cdot \frac{8^4 - 7,4^4}{8} = 13,72 \text{ см}^3;$$

$$\sigma_{\text{песч}} = \frac{M}{W} = \frac{1145}{13,72} = 83,43 \text{ МПа.}$$

Условие проверки

$$\sigma_{\text{песч}} \leq \sigma_{\text{доп}}; \quad 83,43 > 82,3 \text{ Мпа.}$$

Шина не проходит по динамической стойкости.

Выбираем гибкие шины проводниками 2×AC-500/336

$$I_{\text{доп}} = 2 \times 945 = 1890 \text{ А.}$$

Мощность КЗ в РУ-110 кВ

$$S_{\text{КЗ}} = \sqrt{3} I_{n0} U_{\text{н}} = \sqrt{3} \cdot 25 \cdot 110 = 4757 \text{ МВ·А.}$$

Требуется дополнительные проверки на схлестывание, т.к.

$$S_{\text{КЗ}} = 4757 \text{ МВ·А} > 4000.$$

Пример 2.4:

Выбрать кабель в цепи отходящей линии 10 кВ для следующих исходных данных. Кабель проложен в жиле (песок влажностью более 9 %). Температура окружающей среды $\nu=20^{\circ}$. Параллельно проложены два кабеля, $l=150$ мм.

Нагрузка составляет в нормальном режиме $S_{\text{норм}}=2,5 \text{ МВ·А}$; в утяжеленном режиме $S_{\text{утяж}}=4,0 \text{ МВ·А}$, $T_{\max}=6000$ ч. Время отключения КЗ $t_{\text{КЗ}}=1,3$ с.

Решение:

$$I_{\text{норм}} = \frac{S_{\text{норм}}}{\sqrt{3} \cdot U_{\text{норм}}} = \frac{2,5}{\sqrt{3} \cdot 10,5} = 0,138 \text{ кА};$$

$$I_{\text{утяж}} = \frac{S_{\text{утяж}}}{\sqrt{3} \cdot U_{\text{норм}}} = \frac{4,0}{\sqrt{3} \cdot 10} = 0,231.$$

При $T_{\max}=6000$ ч $j_{\text{ЭК}}=1,2$ для алюминиевых кабелей с бумажной изоляцией

$$q_{\text{расч}} = \frac{I_{\text{норм}}}{j_{\text{эк}}} = \frac{138}{1,2} = 115 \text{ мм}^2.$$

Предварительно выбираем сечение $q=120 \text{ см}^2$. Длительно допустимый ток при прокладке в земле $\nu_3=15^\circ\text{C}$; $I_{\text{доп}}=240 \text{ А}$.

Поправочный коэффициент на температуру окружающей среды $\nu_{\text{окр}}=20^\circ$ $K_1=0,96$.

Поправочный коэффициент на количество параллельно проложенных кабелей $K_2=0,91$.

Поправочный коэффициент на вид почвы (песок влажности более 9%) $K_3=1,05$.

$$I'_{\text{доп}} = K_1 \cdot K_2 \cdot K_3 \cdot I_{\text{доп}} = 0,96 \cdot 0,91 \cdot 1,05 \cdot 240 = 220,1.$$

Термический импульс короткого замыкания

$$B_{\text{k}} = I_{\text{п0}}^2 t_{\text{K3}} = (18 \cdot 10^3)^2 \cdot 1,3 = 421,2 \cdot 10^6 \text{ А}^2\text{с}.$$

Минимальное термически стойкое сечение

$$q_{\text{min}} = \frac{\sqrt{B_{\text{k}}}}{c} = \frac{20,5 \cdot 10^3}{90} = 228 \text{ мм}^2.$$

Ближайшее большее сечение, удовлетворяющее термической стойкости $q=240 \text{ мм}^2$.

Таблица П1

Допустимый длительный ток для кабелей с медными жилами с бумагой пропитанной маслоканифольной и нестекающей массами изоляцией в свинцовой оболочке, прокладываемых в земле

Сечение токопроводящей жилы, мм^2	Ток, А, для кабелей					четырехжильных до 1 кВ	
	одно-жильных до 1 кВ	двух-жильных до 1 кВ	трехжильных напряжением, кВ				
			до 3	6	10		
6	--	80	70	--	--	--	
10	140	105	95	80	--	85	
16	175	140	120	105	95	115	
25	235	185	160	135	120	150	
35	285	225	190	160	150	175	
50	360	270	235	200	180	215	
70	440	325	285	245	215	265	
95	520	380	340	295	265	310	
120	595	435	390	340	310	350	
150	675	500	435	390	355	395	
185	755	--	490	440	400	450	
240	880	--	570	510	460	--	
300	1000	--	--	--	--	--	
400	1220	--	--	--	--	--	
500	1400	--	--	--	--	--	
625	1520	--	--	--	--	--	
800	1700	--	--	--	--	--	

Таблица П2

Допустимый длительный ток для кабелей с медными жилами с бумагой пропитанной маслоканифольной и нестекающей массами изоляцией в свинцовой оболочке, прокладываемых в воде

Сечение токо-проводящей жилы, мм^2	Ток, А, для кабелей			
	трехжильных напряжением, кВ			четырехжильных до 1 кВ
	до 3	6	10	
16	--	135	120	--
25	210	170	150	195
35	250	205	180	230
50	305	255	220	285
70	375	310	275	350
95	440	375	240	410
120	505	430	395	470
150	565	500	450	--
185	615	545	510	--
240	715	625	585	--

Таблица П3

Допустимый длительный ток для кабелей с медными жилами с бумагой пропитанной маслоканифольной и нестекающей массами изоляцией в свинцовой оболочке, прокладываемых в воздухе

Сечение токопроводящей жилы, мм^2	Ток, А, для кабелей				
	одно-жильных до 1 кВ	двух-жильных до 1 кВ	трехжильных напряжением, кВ		
			до 3	6	10
6	--	55	45	--	--
10	95	75	60	55	--
16	120	95	80	65	60
25	160	130	105	90	85
35	200	150	125	110	105
50	245	185	155	145	135
70	305	225	200	175	165
95	360	275	245	215	200
120	415	320	285	250	240
150	470	375	330	290	270
185	525	--	375	325	305
240	610	--	430	375	350
300	720	--	--	--	--
400	880	--	--	--	--
500	1020	--	--	--	--
625	1180	--	--	--	--
800	1400	--	--	--	--

Таблица П4

Допустимый длительный ток для кабелей с алюминиевыми жилами с бумажной пропитанной маслоканифольной и нестекающей массами изоляцией в свинцовой оболочке, прокладываемых в воде

Сечение токо-проводящей жилы, мм^2	Ток, А, для кабелей			
	трехжильных напряжением, кВ			четырехжиль-ных до 1 кВ
	до 3	6	10	
16	--	105	90	--
25	160	130	115	150
35	190	160	140	175
50	235	195	170	220
70	290	240	210	270
95	340	290	260	315
120	390	330	305	360
150	435	385	345	--
185	475	420	390	--
240	550	480	450	--

Таблица П5

Допустимый длительный ток для кабелей с алюминиевыми жилами с бумажной пропитанной маслоканифольной и нестекающей массами изоляцией в свинцовой или алюминиевой оболочке, прокладываемых в земле

Сечение токопроводящей жилы, мм^2	Ток, А, для кабелей					
	одно-жильных до 1 кВ	двух-жильных до 1 кВ	трехжильных напряжением, кВ			четырех-жильных до 1 кВ
			до 3	6	10	
6	--	60	55	--	--	--
10	110	80	75	60	--	65
16	135	110	90	80	75	90
25	180	140	125	105	90	115
35	220	175	145	125	115	135
50	275	210	180	155	140	165
70	340	250	220	190	165	200
95	400	290	260	225	205	240
120	460	335	300	260	240	270
150	520	385	335	300	275	305
185	580	--	380	340	310	345
240	675	--	440	390	355	--
300	770	--	--	--	--	--
400	940	--	--	--	--	--
500	1080	--	--	--	--	--
625	1170	--	--	--	--	--
800	1310	--	--	--	--	--

Таблица П6

Допустимый длительный ток для кабелей с алюминиевыми жилами с бумажной пропитанной маслоканифольной и нестекающей массами изоляцией в свинцовой или алюминиевой оболочке, прокладываемых в воздухе

Сечение токопроводящей жилы, мм^2	Ток, А, для кабелей				
	одно-жильных до 1 кВ	двух-жильных до 1 кВ	трехжильных напряжением, кВ		
			до 3	6	10
6	--	42	35	--	--
10	75	55	46	42	--
16	90	75	60	50	46
25	125	100	80	70	65
35	155	115	95	85	80
50	190	140	120	110	105
70	235	175	155	135	130
95	275	210	190	165	155
120	320	245	220	190	185
150	360	290	255	225	210
185	405	--	290	250	235
240	470	--	330	290	270
300	555	--	--	--	--
400	675	--	--	--	--
500	785	--	--	--	--
625	910	--	--	--	--
800	1080	--	--	--	--

Таблица П7

Допустимый длительный ток для трехжильных кабелей напряжением 6 кВ с медными жилами с обедненно-пропитанной изоляцией в общей свинцовой оболочке, прокладываемых в земле и воздухе

Сечение токопроводящей жилы, мм^2	Ток, А, для кабелей проложенных		Сечение токопроводящей жилы, мм^2	Ток, А, для кабелей проложенных	
	в земле	в воздухе		в земле	в воздухе
16	90	65	70	220	170
25	120	90	95	265	210
35	145	110	120	310	245
50	180	140	150	355	290

Таблица П8

Допустимый длительный ток для трехжильных кабелей напряжением 6 кВ с алюминиевыми жилами с обедненно-пропитанной изоляцией в общей свинцовой оболочке, прокладываемых в земле и воздухе

Сечение токопроводящей жилы, мм^2	Ток, А, для кабелей проложенных		Сечение токопроводящей жилы, мм^2	Ток, А, для кабелей проложенных	
	в земле	в воздухе		в земле	в воздухе

16	70	50	70	170	130
25	90	70	95	205	160
35	110	85	120	240	190
50	140	110	150	275	225

Таблица П9
Допустимый длительный ток для неизолированных проводов
по ГОСТ 839-80

Номи- нальное сечение, мм ²	Сечение (алюми- ний/ сталь), мм ²	Ток, А, для проводов марок					
		AC, ACKC, ACK, ACKP		M	A и AKP	M	A и AKP
		вне по- мещений	внутри помеще- ний	вне помещений		внутри помещений	
10	10/1,8	84	53	95	--	60	--
16	16/2,7	111	79	133	105	102	75
25	25/4,2	142	109	183	136	137	106
35	35/6,2	175	135	223	170	173	130
50	50/8	210	165	275	215	219	165
70	70/11	265	210	337	265	268	210
95	95/16	330	260	422	320	341	255
120	120/19 120/27	390 375	313 --	485	375	395	300
150	150/19 150/24 150/34	450 450 450	365 365 --	570	440	465	355
185	185/24 185/29 185/43	520 510 515	430 425 --	650	500	540	410
240	240/32 240/39 240/56	605 610 610	505 505 --	760	590	685	490
300	300/39 300/48 300/66	710 690 680	600 585 --	880	680	740	570
330	330/27	730	--	--	--	--	--
400	400/22 400/51 400/64	830 825 860	713 705 --	1050	815	895	690
500	500/27 500/64	960 945	830 815	--	980	--	820
600	600/72	1050	920	--	1100	--	955
700	700/86	1180	1040	--	--	--	--

Таблица П10

Допустимый длительный ток для шин круглого и трубчатого сечений

Диаметр, мм	Круглые шины		Медные трубы		Алюминиевые трубы		Стальные трубы				
	Ток *, А		внутренний и наружный диаметры, мм	Ток, А	внутренний и наружный диаметры, мм	Ток, А	Условный проход, мм	Толщина стенки, мм	Наружный диаметр, мм	Переменный ток, А	
	медные	алюминиевые								без разреза	с продольным разрезом
6	155/155	120/120	12/15	340	13/16	295	8	2,8	13,5	75	--
7	195/195	150/150	14/18	460	17/20	345	10	2,8	17,0	90	--
8	235/235	180/180	16/20	505	18/22	425	15	3,2	21,3	118	--
10	320/320	245/245	18/22	555	27/30	500	20	3,2	26,8	145	--
12	415/415	320/320	20/24	600	26/30	575	25	4,0	33,5	180	--
14	505/505	390/390	22/26	650	25/30	640	32	4,0	42,3	220	--
15	565/565	435/435	25/30	830	36/40	765	40	4,0	48,0	255	--
16	610/615	475/475	29/34	925	35/40	850	50	4,5	60,0	320	--
18	720/725	560/560	35/40	1100	40/45	935	65	4,5	75,5	390	--
19	780/785	605/610	40/45	1200	45/50	1040	80	4,5	88,5	455	--
20	835/840	650/655	45/50	1330	50/55	1150	100	5,0	114	670	770
21	900/905	695/700	49/55	1580	54/60	1340	125	5,5	140	800	890
22	955/965	740/745	53/60	1860	64/70	1545	150	5,5	165	900	1000
25	1140/1165	885/900	62/70	2295	74/80	1770	--	--	--	--	--
27	1270/1290	980/1000	72/80	2610	72/80	2035	--	--	--	--	--
28	1325/1360	1025/1050	75/85	3070	75/85	2400	--	--	--	--	--
30	1450/1490	1120/1155	90/95	2460	90/95	1925	--	--	--	--	--
35	1770/1865	1370/1450	95/100	3060	90/100	2840	--	--	--	--	--
38	1960/2100	1510/1620	--	--	--	--	--	--	--	--	--
40	2080/2260	1610/1750	--	--	--	--	--	--	--	--	--
42	2200/2430	1700/1870	--	--	--	--	--	--	--	--	--
45	2380/2670	1850/2060	--	--	--	--	--	--	--	--	--

* В числителе приведены нагрузки при переменном токе, в знаменателе – при постоянном.

Таблица П11

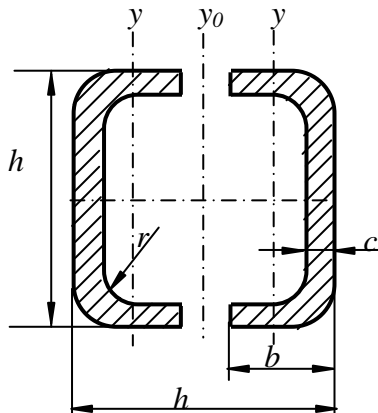
Допустимый длительный ток для шин прямоугольного сечений

Размеры, мм	Медные шины				Алюминиевые шины				Стальные шины	
	Ток*, А, при количестве полос на полюс или фазу								Размеры, мм	Ток*, А
	1	2	3	4	1	2	3	4		
15×3	210	--	--	--	165	--	--	--	16×2,5	55/70
20×3	275	--	--	--	215	--	--	--	20×2,5	60/90
25×3	340	--	--	--	265	--	--	--	25×2,5	75/110
30×4	475	--	--	--	365/370	--	--	--	20×3	65/100
40×4	625	--/1090	--	--	480	--/855	--	--	25×3	80/120
40×5	700/705	--/1250	--	--	540/545	--/965	--	--	30×3	95/140
50×5	860/870	--/1525	--/1895	--	665/670	--/1180	--/1470	--	40×3	125/190
50×6	955/960	--/1700	--/2145	--	740/745	--/1315	--/1655	--	50×3	155/230
60×6	1125/1145	1740/1990	2240/2495	--	870/880	1350/1555	1720/1940	--	60×3	185/280
80×6	1480/1510	2110/2630	2720/3220	--	1150/1170	1630/2055	2100/2460	--	70×3	215/320
100×6	1810/1875	2470/3245	3170/3940	--	1425/1455	1935/2515	2500/3040	--	75×3	230/345
60×8	1320/1345	2160/2485	2790/3020	--	1025/1040	1680/1840	2180/2330	--	80×3	245/365
80×8	1690/1755	2620/3095	3370/3850	--	1320/1355	2040/2400	2620/2975	--	90×3	275/410
100×8	2080/2180	3060/3810	3930/4690	--	1625/1690	2390/2945	3050/3620	--	100×3	305/460
120×8	2400/2600	3400/4400	4340/5600	--	1900/2040	2650/3350	3380/4250	--	20×4	70/115
60×10	1475/1525	2560/2725	3300/3530	--	1155/1180	2010/2110	2650/2720	--	22×4	75/125
80×10	1900/1990	3100/3510	3990/4450	--	1480/1540	2410/2735	3100/3440	--	25×4	85/140
100×10	2310/2470	3610/4325	4650/5385	5300/6060	1820/1910	2860/3350	3650/4160	4150/4400	30×4	100/165
120×10	2650/2950	4100/5000	5200/6250	5900/6800	2070/2300	3200/3900	4100/4860	4650/5200	40×4	130/220
									50×4	165/270
									60×4	195/325
									70×4	225/375
									80×4	260/430
									90×4	290/480
									100×4	325/535

* В числителе приведены значения переменного тока, в знаменателе – постоянного.

Таблица П12

Допустимый длительный ток для шин коробчатого сечения



h	b	c	r	Поперечное сечение одной шины, мм^2	Момент сопротивления, см		Момент инерции, см^4		Допустимый продолжительный ток, А, на две шины			
					одной шины		двух срашенных шин		одной шины			
					W_{x-x}	W_{y-y}	W_{y0-y0}	J_{x-x}	J_{y-y}	J_{y0-y0}		
75	35	4	6	520	10,1	2,52	23,7	41,6	6,2	89	2730	--
75	35	5,5	6	695	14,1	3,17	30,1	53,1	7,6	113	3250	2670
100	45	4,5	8	775	22,2	4,51	48,6	111	14,5	243	3620	2820
100	45	6	8	1010	27	5,9	58	135	18,5	290	4300	3500
125	55	6,5	10	1370	50	9,5	100	290,3	36,7	625	5500	4640
150	65	7	10	1785	74	14,7	167	560	68	1260	7000	5650
175	80	8	12	2440	122	25	250	1070	114	2190	8550	6430
200	90	10	14	3435	193	40	422	1930	254	4220	9900	7550
200	90	12	16	4040	225	46,5	490	2250	294	4900	10500	8830
225	105	12,5	16	4880	307	66,5	645	3450	490	7250	12500	10300
250	115	12,5	16	5450	360	81	824	4500	660	10300	--	10800

Таблица П13
Допустимая кратковременная перегрузка для кабелей напряжением до 10 кВ с бумажной пропитанной изоляцией

Коэффициент предварительной нагрузки	Вид прокладки	Допустимая перегрузка по отношению к номинальной в течение, ч		
		0,5	1,0	3,0
0,6	В земле	1,35	1,30	1,15
	В воздухе	1,25	1,15	1,10
	В трубах (в земле)	1,20	1,0	1,0
0,8	В земле	1,20	1,15	1,10
	В воздухе	1,15	1,10	1,05
	В трубах (в земле)	1,10	1,05	1,00

Таблица П14
Допустимая на период ликвидации послеаварийного режима перевозки для кабелей напряжением до 10 кВ с бумажной изоляцией

Коэффициент предварительной нагрузки	Вид прокладки	Допустимая перегрузка по отношению к номинальной при длительности максимума, ч		
		1	3	6
0,6	В земле	1,5	1,35	1,25
	В воздухе	1,35	1,25	1,25
	В трубах (в земле)	1,30	1,20	1,15
0,8	В земле	1,35	1,25	1,20
	В воздухе	1,30	1,25	1,25
	В трубах (в земле)	1,20	1,15	1,10

Таблица П15

Поправочные коэффициенты на токи для кабелей, неизолированных
и изолированных проводов и шин в зависимости от температуры
земли и воздуха

Услов- ная температура среды, °C	Норми- рован- ная температура жил, °C	Поправочные коэффициенты на токи при расчетной температуре среды, °C											
		-5 и ниже	0	+5	+10	+15	+20	+25	+30	+35	+40	+45	+50
15	80	1,14	1,11	1,08	1,04	1,00	0,96	0,92	0,88	0,83	0,78	0,73	0,68
25	80	1,24	1,20	1,17	1,13	1,09	1,04	1,00	0,95	0,90	0,85	0,80	0,74
25	70	1,29	1,24	1,20	1,15	1,11	1,05	1,00	0,94	0,88	0,81	0,74	0,67
15	65	1,18	1,14	1,10	1,05	1,00	0,95	0,89	0,84	0,77	0,71	0,63	0,55
25	65	1,32	1,27	1,22	1,17	1,12	1,06	1,00	0,94	0,87	0,79	0,71	0,61
15	60	1,20	1,15	1,12	1,06	1,00	0,94	0,88	0,82	0,75	0,67	0,57	0,47
25	60	1,36	1,31	1,25	1,20	1,13	1,07	1,00	0,93	0,85	0,76	0,66	0,54
15	55	1,22	1,17	1,12	1,07	1,00	0,93	0,89	0,79	0,71	0,61	0,50	0,36
25	55	1,41	1,35	1,29	1,23	1,15	1,08	1,00	0,91	0,82	0,71	0,58	0,41
15	50	1,25	1,20	1,14	1,07	1,00	0,93	0,84	0,76	0,66	0,54	0,37	--
25	50	1,48	1,41	1,34	1,26	1,18	1,09	1,00	0,89	0,78	0,63	0,45	--

Таблица П16
Поправочный коэффициент на количество работающих кабелей, лежащих
рядом в земле (в трубах или без труб)

Расстояние между кабелями в свету, мм	Коэффициент при количестве кабелей					
	1	2	3	4	5	6
100	1,00	0,90	0,85	0,80	0,78	0,75
200	1,00	0,92	0,87	0,84	0,82	0,81
300	1,00	0,93	0,90	0,87	0,86	0,85

Таблица П17
Поправочный коэффициент на допустимый длительный ток для кабелей, проложенных в земле, в зависимости от удельного сопротивления земли

Характеристика земли	Удельное сопротивление см·К/Вт	Поправочный коэффициент
Песок влажностью более 9 % песчано-глинистая почва влажностью более 1 %	80	1,05
Нормальные почвы и песок влажностью 7-9%, песчано-глинистая почва влажностью 12-14 %	120	1,00
Песок влажностью более 4 и менее 7 %, песчано-глинистая почва влажностью 8-12 %	200	0,87
Песок влажностью до 4 %, каменистая почва	300	0,75

ЛИТЕРАТУРА

1. Электрическая часть станций и подстанций: учебник для вузов / А.А. Васильев, И.П. Крючков, Е.Ф. Наяшкова и др.; Под ред. А.А. Васильева. – 2-е изд., перераб. и доп. –М.: Энергоиздат, 1990. –576 с.
2. Рожкова Л.Д. Козулин В.С. Электрооборудование станций и подстанций: учебник для техникумов. – 2-е изд., перераб. –М.: Энергия, 1980. –600 с.
3. Пособие к курсовому и дипломному проектированию для электроэнергетических специальностей вузов: учебное пособие для студентов электроэнергетических специальностей вузов, 2-е изд., перераб. и доп. / В.М. Блок, Г.К. Обушев, Л.Б. Панерно и др.: Под ред В.М. Блок. –М.: Высшая школа, 1990. –383 с.
4. Правила устройства электроустановок; пятое издание, переработанное и дополненное с изменениями; ГЛАВГОС энергонадзор России, Москва, 1998.
5. Неклепаев Б.Н. Электрическая часть электростанций и подстанций. Учебник для вузов. –2-е изд., перераб. и доп. –М.: нергоатомиздат, 1986. –640 с.
6. Гук Ю.Б., Кантан В.В., Петров С.С. Проектирование электрической части станций и подстанций. –Л.: Энергоатомиздат, 1985. –312 с.